

(12) 特許協力条約に基づいて公開された国際出願

(19) 世界知的所有権機関  
国際事務局

(43) 国際公開日  
2022年3月10日(10.03.2022)

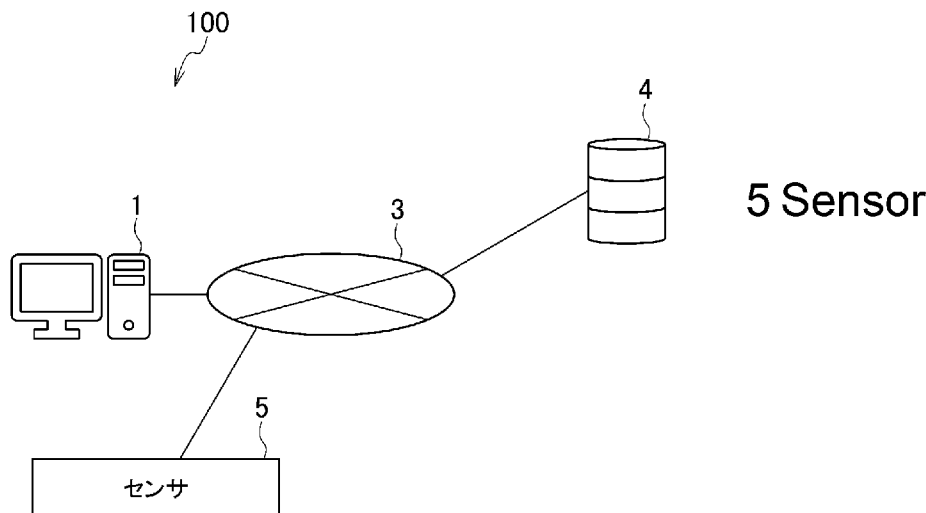


(10) 国際公開番号  
**WO 2022/050336 A1**

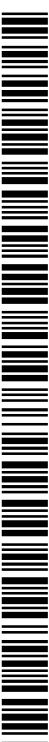
- (51) 国際特許分類:  
*G16H 10/60* (2018.01)    *A61B 5/022* (2006.01)  
*A61B 5/02* (2006.01)    *A61B 5/1455* (2006.01)
- (21) 国際出願番号:                    PCT/JP2021/032234
- (22) 国際出願日:                    2021年9月2日(02.09.2021)
- (25) 国際出願の言語:                    日本語
- (26) 国際公開の言語:                    日本語
- (30) 優先権データ:  
特願 2020-148047    2020年9月3日(03.09.2020)    JP  
特願 2020-148048    2020年9月3日(03.09.2020)    JP  
特願 2021-032878    2021年3月2日(02.03.2021)    JP  
特願 2021-032879    2021年3月2日(02.03.2021)    JP  
特願 2021-032881    2021年3月2日(02.03.2021)    JP
- (71) 出願人: S S S T 株式会社 (SSST CO., LTD.)  
[JP/JP]; 〒3860017 長野県上田市踏入 2 - 1 6 - 2 4 Nagano (JP).
- (72) 発明者: 倉沢 進太郎 (KURASAWA Shintaro);  
〒3860017 長野県上田市踏入 2 - 1 6 - 2 4 S  
S S T 株式会社内 Nagano (JP). 千野 駿 (CHINO  
Shun); 〒3860017 長野県上田市踏入 2 - 1 6  
- 2 4 S S S T 株式会社内 Nagano (JP).
- (74) 代理人: 安彦 元 (ABIKO Gen); 〒1020073 東京  
都千代田区九段北 1 - 5 - 1 0 九段ク  
レストビル 2階 Tokyo (JP).
- (81) 指定国(表示のない限り、全ての種類の国内保  
護が可能): AE, AG, AL, AM, AO, AT, AU, AZ,  
BA, BB, BG, BH, BN, BR, BW, BY, BZ, CA, CH,

(54) Title: BIOLOGICAL INFORMATION COMPUTATION SYSTEM

(54) 発明の名称: 生体情報演算システム



(57) Abstract: [Problem] To provide a biological information computation system with which it is possible to achieve a quantitative evaluation relating to the state of a user. [Solution] A biological information computation system that calculates blood information relating to the blood of the user, the system being characterized in comprising an acquisition means, a database, a calculation means, and an evaluation means. The acquisition means acquires evaluation data based on the pulse of the user. In the database, a pair comprising input data based on a previously acquired learning pulse, and reference data including blood information associated with the input data, is used as learning data, and classification information generated using a plurality of learning data is stored. The calculation means refers to the database and calculates



WO 2022/050336 A1

CL, CN, CO, CR, CU, CZ, DE, DJ, DK, DM, DO,  
DZ, EC, EE, EG, ES, FI, GB, GD, GE, GH, GM, GT,  
HN, HR, HU, ID, IL, IN, IR, IS, IT, JO, KE, KG, KH,  
KN, KP, KR, KW, KZ, LA, LC, LK, LR, LS, LU, LY,  
MA, MD, ME, MG, MK, MN, MW, MX, MY, MZ,  
NA, NG, NI, NO, NZ, OM, PA, PE, PG, PH, PL, PT,  
QA, RO, RS, RU, RW, SA, SC, SD, SE, SG, SK, SL,  
ST, SV, SY, TH, TJ, TM, TN, TR, TT, TZ, UA, UG,  
US, UZ, VC, VN, WS, ZA, ZM, ZW.

- (84) 指定国(表示のない限り、全ての種類の広域保護が可能): ARIPO (BW, GH, GM, KE, LR, LS, MW, MZ, NA, RW, SD, SL, ST, SZ, TZ, UG, ZM, ZW), ユーラシア (AM, AZ, BY, KG, KZ, RU, TJ, TM), ヨーロッパ (AL, AT, BE, BG, CH, CY, CZ, DE, DK, EE, ES, FI, FR, GB, GR, HR, HU, IE, IS, IT, LT, LU, LV, MC, MK, MT, NL, NO, PL, PT, RO, RS, SE, SI, SK, SM, TR), OAPI (BF, BJ, CF, CG, CI, CM, GA, GN, GQ, GW, KM, ML, MR, NE, SN, TD, TG).

添付公開書類 :

- 一 国際調査報告 (条約第21条(3))

---

blood information in relation to the evaluation data. The evaluation means generates an evaluation result relating to the state of the user on the basis of the blood information.

(57) 要約: 【課題】 ユーザの状態に関する定量的な評価を実現することができる生体情報演算システムを提供する。 【解決手段】 ユーザの血液に関する血液情報を算出する生体情報演算システムであって、取得手段と、データベースと、算出手段と、評価手段と、を備えることを特徴とする。取得手段は、ユーザの脈波に基づく評価データを取得する。データベースには、予め取得された学習用脈波に基づく入力データ、及び入力データに紐づく血液情報を含む参照データの一対を学習データとして、複数の学習データを用いて生成された分類情報が記憶される。算出手段は、データベースを参照し、評価データに対する血液情報を算出する。評価手段は、血液情報に基づき、ユーザの状態に関する評価結果を生成する。

## 明 細 書

発明の名称：生体情報演算システム

### 技術分野

[0001] 本発明は、生体情報演算システムに関する。

### 背景技術

[0002] 従来、ユーザの血糖値等のような血液情報を算出する方法として、例えば特許文献1のような方法が提案されている。

[0003] 特許文献1に開示された非侵襲血糖値計測装置は、被験者の加速度脈波を測定するFBGセンサを備えた脈波測定部と、測定された加速度脈波の波形情報から、予め定めた相関関係に基づき、当該加速度脈波の測定時点の前記被験者の血糖値を算出するデータ処理部とを備える。相関関係は、侵襲測定法により測定した血糖値を目的変数とし、同時測定した加速度脈波を説明変数としてPLS回帰分析を行って構築された検量線である。

### 先行技術文献

#### 特許文献

[0004] 特許文献1：特許第6544751号公報

### 発明の概要

#### 発明が解決しようとする課題

[0005] ここで、特許文献1のような血液情報の算出結果では、ユーザの状態を把握することが難しい。

[0006] そこで本発明は、上述した問題点に鑑みて案出されたものであり、その目的とするところは、ユーザの状態に関する定量的な評価を実現することができる生体情報演算システムを提供することにある。

#### 課題を解決するための手段

[0007] 第1発明に係る生体情報演算システムは、ユーザの血液に関する血液情報を算出する生体情報演算システムであって、前記ユーザの脈波に基づく評価データを取得する取得手段と、予め取得された学習用脈波に基づく入力デー

タ、及び前記入力データに紐づく前記血液情報を含む参照データの一对を学習データとして、複数の前記学習データを用いて生成された分類情報が記憶されたデータベースと、前記データベースを参照し、前記評価データに対する前記血液情報を算出する算出手段と、前記血液情報に基づき、前記ユーザの状態に関する評価結果を生成する評価手段と、を備えることを特徴とする。

[0008] 第2発明に係る生体情報演算システムは、第1発明において、前記血液情報は、血糖値を含み、前記評価手段は、それぞれ異なる前記評価データから算出された複数の前記ユーザの血糖値に基づき、前記ユーザの血糖値の変化を示す血糖スパイク情報を含む前記評価結果を生成することを特徴とする。

[0009] 第3発明に係る生体情報演算システムは、第1発明において、前記血液情報は、血糖値を含み、前記評価手段は、前記評価データ、及び前記評価データから算出された血糖値に基づき、前記評価結果を生成することを特徴とする。

[0010] 第4発明に係る生体情報演算システムは、第1発明において、前記血液情報は、前記血液の組成に関する特徴を含み、前記評価手段は、それぞれ異なる前記評価データから算出された複数の前記血液の組成に関する特徴に基づき、前記ユーザの運動能力の傾向を示した前記評価結果を生成することを特徴とする。

[0011] 第5発明に係る生体情報演算システムは、第1発明において、前記ユーザの生体情報に関する特徴を示す付加情報を取得し、前記評価結果及び前記付加情報に基づき、前記ユーザの健康状態を評価した総合評価結果を生成する集計手段を備えることを特徴とする。

[0012] 第6発明に係る生体情報演算システムは、第1発明において、前記取得手段は、前記脈波に基づき、前記評価データとは異なる特徴を示す付加データを取得することを含み、前記算出手段は、前記データベースを参照し、前記付加データに対する前記ユーザの生体情報に関する特徴を示す付加情報を生成することを含むことを特徴とする。

[0013] 第7発明に係る生体情報演算システムは、第1発明において、前記評価手段は、前記ユーザの生体情報に関する特徴を示す付加情報を取得し、複数の前記特徴データ及び前記付加情報に基づき、前記評価結果を生成することを含むことを特徴とする。

[0014] 第8発明に係る生体情報演算システムは、第1発明において、前記取得手段は、前記脈波に基づき、前記評価データとは異なる予備評価データを取得することを含み、前記分類情報は、それぞれ異なる前記学習データを用いて算出された複数の属性別分類情報を含み、前記算出手段は、前記予備評価データを参照し、複数の前記属性別分類情報のうち第1分類情報を選択する選択手段と、前記第1分類情報を参照し、前記評価データに対する前記血液情報を算出する属性別算出手段とを含むことを特徴とする。

### 発明の効果

[0015] 第1発明～第8発明によれば、算出手段は、評価データに対するユーザの血液情報を算出する。評価手段は、血液情報に基づき、ユーザの状態に関する評価結果を生成する。これにより、ユーザの状態に関する定量的な評価を実現することが可能となる。

### 図面の簡単な説明

[0016] [図1]図1は、第1実施形態における生体情報演算システムの一例を示す模式図である。

[図2]図2(a)及び図2(b)は、第1実施形態における生体情報演算システムの動作の一例を示す模式図である。

[図3]図3(a)は、分類情報の一例を示す模式図であり、図3(b)及び図3(c)は、センサデータに対する処理の一例を示す模式図である。

[図4]図4(a)は、生体情報演算装置の構成の一例を示す模式図であり、図4(b)は、生体情報演算装置の機能の一例を示す模式図である。

[図5]図5(a)及び図5(b)は、センサの一例を示す模式図である。

[図6]図6は、第1実施形態における生体情報演算システムの動作の一例を示すフローチャートである。

[図7]図7は、第2実施形態における生体情報演算システムの動作の一例を示す模式図である。

[図8]図8は、第2実施形態における生体情報演算システムの動作の変形例を示す模式図である。

[図9]図9は、第3実施形態における生体情報演算システムの動作の一例を示す模式図である。

[図10]図10(a)及び図10(b)は、センサデータに対する付加情報を算出する処理の一例を示す模式図である。

[図11]図11は、第3実施形態における生体情報演算システムの動作の一例を示す模式図である。

[図12]図12は、第4実施形態における生体情報演算システムの動作の一例を示す模式図である。

[図13]図13は、第5実施形態における生体情報演算システムの動作の一例を示す模式図である。

[図14]図14は、加速度脈波に相当するデータの分類例を示す模式図である。

[図15]図15は、速度脈波に相当するデータの分類例を示す模式図である。

[図16]図16は、第5実施形態における生体情報演算システムの動作の変形例を示す模式図である。

[図17]図17(a)及び図17(b)は、第6実施形態における生体情報演算システムの動作の一例を示す模式図である。

[図18]図18は、第7実施形態における生体情報演算システムの動作の一例を示す模式図である。

[図19]図19は、血糖トレンドを示す模式図である。

[図20]図20は、第8実施形態における生体情報演算システムの動作の一例を示す模式図である。

[図21]図21は、第8実施形態における生体情報演算システムの動作の他の例を示す模式図である。

[図22]図 2 2 は、第 9 実施形態における生体情報演算システムの動作の一例を示す模式図である。

[図23]図 2 3 は、第 1 0 実施形態における生体情報演算システムの動作の一例を示す模式図である。

[図24]図 2 4 ( a ) 及び図 2 4 ( b ) は、第 1 1 実施形態における生体情報演算システムの動作の一例を示す模式図である。

[図25]図 2 5 ( a ) 及び図 2 5 ( b ) は、評価結果を生成する処理の一例を示す模式図である。

### 発明を実施するための形態

[0017] 以下、本発明の実施形態における生体情報演算システムの一例について、図面を参照しながら説明する。

[0018] 生体情報演算システム 1 0 0 は、ユーザの血液に関する血液情報を算出し、算出した血液情報に基づき、ユーザの状態に関する評価結果を生成するために用いられる。血液情報は、例えば脈波に基づき算出可能な情報を用いることができ、例えば血糖値を含むほか、血液の組成に関する特徴を含む。血液情報として、ユーザの状態は、例えばユーザの血糖値の変化を示すほか、ユーザの運動能力や、ユーザの健康状態を示す。

[0019] 以下、第 1 実施形態～第 5 実施形態では、血液情報が血糖値を含み、ユーザの状態としてユーザの血糖値の変化を示す場合の生体情報演算システム 1 0 0 について説明する。第 6 実施形態～第 1 0 実施形態では、血液情報が血糖値を含み、ユーザの状態としてユーザの健康状態を示す場合の生体情報演算システム 1 0 0 について説明する。第 1 1 実施形態～第 1 2 実施形態では、血液情報が血液の組成に関する特徴を含み、ユーザの状態としてユーザの運動能力を示す場合の生体情報演算システム 1 0 0 について説明する。

[0020] (第 1 実施形態：生体情報演算システム 1 0 0)

図 1 は、第 1 実施形態における生体情報演算システム 1 0 0 の一例を示す模式図である。

[0021] 本実施形態における生体情報演算システム 1 0 0 は、ユーザの血糖値を算

出し、算出した複数の血糖値に基づき、ユーザの血糖値の変化を評価することができる。

[0022] ユーザの血糖値の変化は、例えば血糖スパイク情報により示すことができる。血糖スパイク情報は、例えば複数の血糖値に対する平均値、値の幅（例えば最大値と最小値との差で示す血糖スパイクの強度）、中央値等を示す。

[0023] 上記のほか、血糖スパイク情報は、例えば複数の血糖値における時系列変化から得られる値を示し、例えば微分を用いて導出された時間変化の特徴や、積分を用いて導出されたピーク形状の特徴を示す。なお、「血糖スパイク」とは、血糖値の変化を示す公知の定義を含む。

[0024] 生体情報演算システム100では、上述血糖スパイク情報を含む評価結果を生成することができる。評価結果は、血糖スパイク情報の示す数値や特徴を含むほか、例えば血糖スパイク情報に基づき評価された健康状態等を含んでもよい。

[0025] 生体情報演算システム100は、例えば図1に示すように、生体情報演算装置1を備え、例えばセンサ5及びサーバ4の少なくとも何れかを備えてもよい。生体情報演算装置1は、例えば通信網3を介してセンサ5やサーバ4と接続される。

[0026] 生体情報演算システム100は、ユーザの脈波に基づく評価データから、血糖値を算出する。また、生体情報演算システム100は、例えば時系列や任意のタイミングで生成された複数の血糖値に基づき、血糖スパイク情報を含む評価結果を生成する。

[0027] 生体情報演算システム100では、例えば図2(a)に示すように、生体情報演算装置1が、センサ5等により生成されたセンサデータを取得する。その後、生体情報演算装置1は、取得したセンサデータに対し、フィルタ処理等の前処理を実施し、評価データを取得する。

[0028] 生体情報演算装置1は、評価データに対する血糖値を算出する。その後、生体情報演算装置1は、それぞれ異なる評価データから生成された複数の血糖値に基づき、評価結果を生成する。このため、ユーザの個人差に関わらず



、血糖値の変化に対する評価結果を得ることができる。これにより、血糖値の変化に関する定量的な評価を実現することが可能となる。

[0029] ここで、生体情報演算装置 1 は、評価データに対する血糖値を算出する際、データベースを参照する。データベースには、複数の学習データを用いて生成された分類情報が記憶される。

[0030] 分類情報は、例えば図 3 (a) に示すように、過去に取得された学習用脈波に基づく入力データ、及び入力データに紐づく過去の血糖値を含む参照データの一対を学習データとして、複数の学習データを用いて生成される。このため、血糖値を算出する際、過去に実績のある入力データ及び出力データを踏まえた定量的な血糖値を算出することができる。これにより、血糖値を算出する際の精度向上を図ることが可能となる。

[0031] 生体情報演算装置 1 は、例えば生成した評価結果をディスプレイ等に出力する。評価結果には、ユーザの血糖値の変化を示す血糖スパイク情報が含まれ、例えば数値で示された血糖スパイク情報が含まれる。評価結果には、例えば糖尿病の可能性を示す指標や、推奨される食事に関する情報や、運動に関する情報が含まれてもよい。

[0032] なお、生体情報演算システム 100 では、例えば図 2 (b) に示すように、センサ 5 等から評価データを取得してもよい。この場合、センサデータから評価データを取得する前処理は、センサ 5 等により実施される。

[0033] <センサデータ>

センサデータは、ユーザの脈波の特徴を示すデータを含み、例えば脈波以外の特徴を示すデータ（ノイズ）を含んでもよい。センサデータは、測定時間に対する振幅を示すデータであり、用途やセンサデータの生成条件に応じたフィルタ処理を実施することで、センサデータから加速度脈波や速度脈波等に相当するデータを取得することができる。

[0034] センサデータは、ひずみセンサ、ジャイロセンサ、光電容積脈波（PPG）センサ、圧力センサ等の公知のセンサにより生成することができる。センサデータは、デジタル信号のほか、例えばアナログ信号でもよい。なお、セ

ンサデータを生成する際の測定時間は、例えば脈波の1～20周期分の測定時間であり、センサデータの処理方法や、データ通信方法等の条件に応じて、任意に設定することができる。

[0035] <評価データ>

評価データは、血糖値を算出するためのデータを示す。評価データは、例えばユーザの脈波に基づく加速度脈波に相当するデータを示し、特定の周期（例えば1周期）に対する振幅を示す。

[0036] 評価データは、センサデータを生体情報演算装置1等によって処理（前処理）を実施することで取得される。例えば図3（b）及び図3（c）に示すように、センサデータに対して複数の処理を実施することで、評価データを取得することができる。各処理の詳細については、後述する。

[0037] <データベース>

データベースは、主に、評価データに対するユーザの血糖値を算出する際に用いられる。データベースには、1つ以上の分類情報が記憶されるほか、例えば分類情報の生成に用いられた複数の学習データが記憶されてもよい。

[0038] 分類情報は、例えば予め取得された過去の評価データ（入力データ）と、血糖値を含む参照データとの相間関係を示す関数である。分類情報は、例えば入力データを説明変数とし、参照データを目的変数として、回帰分析等により解析し、その解析結果に基づいて生成される検量モデルを示す。分類情報は、例えば検量モデルを定期的に更新することができるほか、ユーザの性別、年齢、運動内容等の属性情報毎に生成された複数の検量モデルを含んでもよい。

[0039] 分類情報を生成する際に用いる回帰分析の方法として、例えばPLS（Partial Least Squares）回帰分析、クラス毎に主成分分析を行って主成分モデルを得るSIMCA（Soft Independent Modeling of Class Analogy）法を利用した回帰分析等を用いることができる。

[0040] 分類情報は、例えば複数の学習データを用いた機械学習により生成された、学習済みモデルを含んでもよい。学習済みモデルは、例えばCNN（Convo

lutional Neural Network) 等のニューラルネットワークモデルを示すほか、SVM (Support vector machine) 等を示す。また、機械学習として、例えば深層学習を用いることができる。

[0041] 入力データは、評価データと同種のデータが用いられ、例えば対応する血糖値が明確となっている過去の評価データを示す。例えば、被検者にセンサ5等を装着させ、学習用脈波の特徴を示すセンサデータ（学習用センサデータ）を生成する。そして、学習用センサデータに対して処理を実施することで、入力データを取得することができる。なお、入力データは、生体情報演算システム100のユーザから取得するほか、例えばユーザとは別のユーザから取得してもよい。即ち、上述した被検者は、生体情報演算システム100のユーザであるほか、ユーザ以外を対象としてもよく、特定又は不特定の多数でもよい。

[0042] 入力データは、例えば評価データを取得する際に利用するセンサ5等の種類、センサデータの生成条件、及びセンサデータに対する処理条件と同様の内容によって取得されることが好ましい。例えば上記3つの内容を統一することで、血糖値を算出する際の精度を飛躍的に向上させることが可能となる。

[0043] 参照データは、計測装置等を用いて計測された、被検者の血糖値を含む。例えば被検者にセンサ5等を装着させて学習用センサデータを生成する際、被検者の血糖値を計測することで、入力データに紐づく参照データを取得することができる。この場合、血糖値を計測するタイミングは、学習用センサデータを生成するタイミングと同時が好ましいが、例えば1～10分程度前後するタイミングでもよい。なお、血糖値を計測する計測装置として、例えばフリースタイルプレジジョンプロ（アボットジャパン株式会社製）等の公知の血糖値計が用いられる。

[0044] <評価結果>

評価結果は、ユーザの血糖値の変化を示す血糖スパイク情報を含む。評価結果は、例えば複数の血糖値を含むほか、複数の血糖値における差分値や、

複数の血糖値と、予め設定された閾値との乖離度を含んでもよい。評価結果を出力することで、ユーザの血糖値の変化を把握することができる。

[0045] <生体情報演算装置 1>

生体情報演算装置 1 は、例えばパーソナルコンピュータ（PC）、携帯電話、スマートフォン、タブレット型端末、ウェアラブル端末等の電子機器を示し、例えばユーザの操作に基づいて、通信網 3 を介して通信可能な電子機器を示す。なお、生体情報演算装置 1 は、センサ 5 を内蔵してもよい。以下、生体情報演算装置 1 として、PC が用いられる場合の一例を説明する。

[0046] 図 4（a）は、生体情報演算装置 1 の構成の一例を示す模式図であり、図 4（b）は、生体情報演算装置 1 の機能の一例を示す模式図である。

[0047] 生体情報演算装置 1 は、例えば図 4（a）に示すように、筐体 10 と、CPU（Central Processing Unit）101 と、ROM（Read Only Memory）102 と、RAM（Random Access Memory）103 と、保存部 104 と、I/F 105～107 とを備える。各構成 101～107 は、内部バス 110 により接続される。

[0048] CPU 101 は、生体情報演算装置 1 全体を制御する。ROM 102 は、CPU 101 の動作コードを格納する。RAM 103 は、CPU 101 の動作時に使用される作業領域である。保存部 104 は、データベースや評価データ等の各種情報が記憶される。保存部 104 として、例えば HDD（Hard Disk Drive）のほか、SSD（Solid State Drive）等のデータ保存装置が用いられる。なお、例えば生体情報演算装置 1 は、図示しない GPU（Graphics Processing Unit）を有してもよい。

[0049] I/F 105 は、通信網 3 を介して、必要に応じてサーバ 4 やセンサ 5 等の各種情報の送受信を行うためのインターフェースである。I/F 106 は、入力部 108 との情報の送受信を行うためのインターフェースである。入力部 108 として、例えばキーボードが用いられ、生体情報演算装置 1 のユーザ等は、入力部 108 を介して、各種情報、又は生体情報演算装置 1 の制御コマンド等を入力する。I/F 107 は、表示部 109 との各種情報の

送受信を行うためのインターフェースである。表示部109は、保存部104に保存された各種情報、又は評価結果等を表示する。表示部109として、ディスプレイが用いられ、例えばタッチパネル式の場合、入力部108と一体に設けられる。

[0050] 図4(b)は、生体情報演算装置1の機能の一例を示す模式図である。生体情報演算装置1は、取得部11と、算出部12と、評価部13と、出力部14と、記憶部15とを備え、例えば学習部16を備えてもよい。なお、図4(b)に示した各機能は、CPU101が、RAM103を作業領域として、保存部104等に記憶されたプログラムを実行することにより実現される。

[0051] <取得部11>

取得部11は、ユーザの脈波に基づく評価データを取得する。取得部11は、例えばセンサ5等からセンサデータを取得したあと、センサデータに対して処理を実施することで、評価データを取得する。

[0052] 取得部11は、例えば図3(b)に示すように、取得したセンサデータに対し、フィルタリング処理(フィルタ処理)を実施する。フィルタ処理では、例えば0.5~5.0Hzのバンドパスフィルタが用いられる。これにより、取得部11は、ユーザの脈波に相当するデータ(脈波データ)を抽出する。脈波データは、例えば速度脈波に相当するデータを示す。なお、脈波データは、例えば加速度脈波又は容積脈波に相当するデータを示してもよく、センサの種類や用途に応じて任意に設定できる。また、バンドパスフィルタのフィルタ範囲は、用途に応じて任意に設定することができる。

[0053] 取得部11は、例えば脈波データに対し、微分処理を実施する。例えば速度脈波に相当する脈波データに対して微分処理が実施される場合、取得部11は、加速度脈波に相当するデータ(微分データ)を取得する。なお、微分処理では、1回微分のほか2回微分が実施されてもよい。

[0054] 取得部11は、例えば微分データに対し、分割処理を実施する。分割処理では、例えば複数周期の加速度脈波に相当する微分データが、1周期毎の加

速度脈波に相当するデータ（分割データ）に分割される。このため、取得部 11 は、例えば 1 つの微分データに対して微分処理を実施することで、複数の分割データを取得することができる。なお、分割処理では、用途に応じて任意の周期（例えば周期の正数倍）毎に、微分データを分割することができる。

[0055] 例えば分割処理において、分割した各分割データにおけるデータ量が、それぞれ異なる場合がある。この場合、取得部 11 は、最も少ないデータ量の分割データを特定し、他の分割データに対して、データ量の削減（トリミング）を実施してもよい。これにより、各分割データにおけるデータ量を統一することができ、各分割データにおけるデータの対比が容易になる。

[0056] 上記のほか、例えば分割データの時間軸に対応する値を対象に規格化処理を実施してもよい。規格化処理では、例えば時間軸に対応する値の最小値を 0 とし、最大値を 1 とした規格化が実施される。これにより、各分割データにおけるデータの対比が容易になる。

[0057] 取得部 11 は、例えばデータ量の削減、又は規格化を実施した複数の分割データにおける平均を算出し、分割データとしてもよい。

[0058] 取得部 11 は、分割データに対し、規格化処理を実施する。規格化処理では、振幅に対応する値を対象に、規格化されたデータ（規格化データ）が生成される。規格化処理では、例えば振幅の最低値を 0 とし、振幅の最高値を 1 とした規格化が実施される。取得部 11 は、例えば規格化データを評価データとして取得する。この場合、評価データとして、ユーザの加速度脈波に相当するデータが得られる。

[0059] 取得部 11 は、上述した各処理を順次実施するほか、例えば図 3（c）に示すように、微分処理を実施しなくてもよい。この場合、評価データとして、ユーザの速度脈波に相当するデータが得られる。

[0060] また、取得部 11 は、例えば上述した各処理の一部のみを実施してもよい。この場合、取得部 11 は、脈波データ、微分データ、分割データ、トリミングされた分割データ、及び時間軸に対応する値を規格化した分割データの

何れかを、評価データとして取得してもよく、用途に応じて任意に設定できる。

[0061] <算出部 1 2>

算出部 1 2 は、データベースを参照し、評価データに対するユーザの血糖値を算出する。算出部 1 2 は、例えばデータベースに記憶された分類情報を参照し、評価データに対する血糖値を算出する。算出部 1 2 は、それぞれ異なる評価データに対する血糖値を、複数生成する。

[0062] 算出部 1 2 により算出された血糖値は、参照データと同種のデータとして算出される。血糖値は、分類情報を参照し、参照データと同一又は類似のデータとして算出される。生体情報演算システム 1 0 0 では、例えば任意の時系列に沿って複数の評価データを取得し、各評価データに対する血糖値を複数算出する。また、生体情報演算システム 1 0 0 では、例えば食事の前後や、運動量の変化時等の任意のタイミング毎に、複数の評価データを取得し、各評価データに対する血糖値を複数算出してもよい。

[0063] <評価部 1 3>

評価部 1 3 は、それぞれ異なる評価データから算出された複数の血糖値に基づき、ユーザの血糖値の変化を示す血糖スパイク情報を含む評価結果を生成する。評価部 1 3 は、例えば保存部 1 0 4 等に予め記憶された表示用のフォーマットを用いて、血糖スパイク情報についてユーザが理解できる形式に変換した評価結果を生成する。

[0064] 評価部 1 3 は、例えば複数の血糖値のうち、最小値と最大値との差を、血糖スパイク情報として算出してもよい。この場合、血糖値の変化量を評価対象として用いることができる。これにより、例えば糖尿病予備軍の特徴と、糖尿病患者の特徴とを容易に分類することが可能となる。

[0065] 評価部 1 3 は、例えば 2 つの血糖値の差を、測定時間の差で割った値を、血糖スパイク情報として算出し、血糖スパイク情報を含む評価結果を生成する。この場合、ユーザ毎に異なる血糖値の変化を容易に把握することができる。例えば評価部 1 3 は、予め保存部 1 0 4 等に記憶された基準値を参照し

、血糖スパイク情報が基準値よりも小さい場合、健康状態である旨を示す評価結果を生成し、血糖スパイク情報が基準値以上の場合、糖尿病の可能性がある状態である旨を示す評価結果を生成してもよい。

[0066] 評価部13は、例えば評価用データベースを参照して、複数の血糖値から評価結果を生成してもよい。評価用データベースは、例えば保存部104に保存される。

[0067] 評価用データベースには、例えば上述したデータベースと同様に、複数の血糖値に対する評価結果を生成するための評価用分類情報が記憶されてもよい。評価用データベースには、1つ以上の評価用分類情報が記憶されるほか、例えば評価用分類情報の生成に用いられた複数の評価用学習データが記憶されてもよい。

[0068] 評価用分類情報は、例えば予め取得された過去の複数の血糖値（評価用入力データ）と、評価用入力データに紐づく評価用参照データとの相関関係を示す関数である。評価用参照データは、ユーザの血糖値における変化の傾向を示し、例えば過去に生成された血糖スパイク情報を示す。評価用分類情報は、評価用入力データと、評価用参照データとを一对の評価用学習データとして、複数の評価用学習データを用いて生成される。

[0069] 評価用分類情報は、例えば評価用入力データを説明変数とし、評価用参照データを目的変数とし、上述した回帰分析等により解析し、その解析結果に基づいて生成される検量モデルを示す。評価用分類情報は、例えば検量モデル（評価用検量モデル）を定期的に更新することができるほか、ユーザの性別、年齢、運動内容等の属性情報毎に生成された複数の評価用検量モデルを含んでもよい。なお、評価用分類情報は、上述した分類情報と同様に、例えば複数の評価用学習データを用いた機械学習により生成された、学習済みモデル（評価用学習済みモデル）を含んでもよい。

[0070] 評価部13は、例えば複数の血糖値における時系列変化から血糖スパイク情報を算出し、評価結果を生成する。この際、時系列の区間や血糖値の数は、任意に設定することができる。このため、血糖スパイクの強度に加え、形



状の特徴も考慮した評価結果を生成することができる。

[0071] 評価部13は、例えば複数の血糖値と、評価データの取得時間とを紐づけたデータを、血糖スパイク情報として算出してもよい。この場合、評価結果として、血糖値のトレンドを示す情報を含ませることができる。

[0072] <出力部14>

出力部14は、評価結果を出力する。出力部14は、表示部109に評価結果を出力するほか、例えばセンサ5等に評価結果を出力してもよい。

[0073] <記憶部15>

記憶部15は、保存部104に保存されたデータベース等の各種データを、必要に応じて取出す。記憶部15は、各構成11~14、16により取得又は生成された各種データを、必要に応じて保存部104に保存する。

[0074] <学習部16>

学習部16は、例えば複数の学習データを用いて、分類情報を生成する。学習部16は、例えば新たな学習データを取得し、既存の分類情報を更新してもよい。

[0075] 学習部16は、例えば複数の評価用学習データを用いて、評価用分類情報を生成する。学習部16は、例えば新たな評価用学習データを取得し、既存の評価用分類情報を更新してもよい。

[0076] なお、生体情報演算システム100において、分類情報及び評価用分類情報を用いる場合、例えば評価データの種類に応じて分類情報を更新し、評価分類情報を更新しなくてもよい。この場合、新たに評価用学習データを準備する必要が無いため、コスト削減、及び更新時間の大幅な削減を実現することが可能となる。

[0077] <通信網3>

通信網3は、生体情報演算装置1と、サーバ4と、センサ5とを通信回線を介して接続される公知のインターネット網等である。通信網3は、生体情報演算システム100を一定の狭いエリア内で運用する場合には、LAN (Local Area Network) 等で構成されてもよい。また、通信網3は、いわゆる光

ファイバ通信網で構成されてもよい。また、通信網3は、有線通信網に限定されるものではなく、無線通信網で実現されてもよく、用途に応じて任意に設定できる。

[0078] <サーバ4>

サーバ4は、通信網3を介して送られてきた情報が蓄積される。サーバ4は、生体情報演算装置1からの要求に基づき、通信網3を介して蓄積された情報を生体情報演算装置1へと送信する。

[0079] サーバ4は、例えば複数の生体情報演算装置1と接続され、各生体情報演算装置1から評価結果等の各種情報を取得し、一括して保存してもよい。なお、サーバ4は、上述した生体情報演算装置1の備える各機能のうち、少なくとも一部の機能を備えてもよい。また、サーバ4は、上述した生体情報演算装置1に記憶されたデータベース等が記憶されてもよい。

[0080] <センサ5>

センサ5は、センサデータを生成する。センサ5は、例えば図5(a)に示すように、検出部6を備える。センサ5は、検出部6を介してユーザの脈波を検出可能な位置に装着され、例えばリストバンド55に固定される。

[0081] 検出部6は、ユーザの脈波を検出可能な公知の検出装置が用いられる。検出部6として、例えばファイバブラッググレーティング(FBG)センサ等のひずみセンサ、ジャイロセンサ、脈波信号測定のための1つ以上の電極、光電容積脈波(PPG)センサ、圧力センサ、及び光検出モジュールの少なくとも何れかが用いられる。検出部6は、例えば複数配置されてもよい。

[0082] なお、センサ5は、衣服に埋め込まれてもよい。また、センサ5を装着するユーザは、人間のほか、犬や猫等のペットを対象としてもよく、例えば牛や豚等の家畜、魚等の養殖を対象としてもよい。

[0083] センサ5は、例えば図5(b)に示すように、取得部50と、通信1/51と、メモリ52と、司令部53とを備え、各構成がそれぞれ内部バス54で接続される。

[0084] 取得部50は、検出部6を介してユーザの脈波を測定し、センサデータを

生成する。取得部50は、例えば生成したセンサデータを、通信I/F51、又はメモリ52へと送信する。

[0085] 通信I/F51は、通信網3を介して、センサデータ等の各種データを生体情報演算装置1やサーバ4に送信する。また、通信I/F51は、通信網3と接続するための回線制御回路や、生体情報演算装置1やサーバ4との間でデータ通信を行うための信号変換回路等が、実装されている。通信I/F51は、内部バス54からの各種命令に変換処理を施して、これを通信網3側へ送出するとともに、通信網3からのデータを受信した場合には、これに所定の変換処理を施して内部バス54へ送信する。

[0086] メモリ52は、取得部50から送信されたセンサデータ等の各種データを保存する。メモリ52は、例えば通信網3を介して接続される他の端末装置から命令を受けることにより、保存したセンサデータ等の各種データを、通信I/F51へ送信する。

[0087] 命令部53は、センサデータを取得するための操作ボタンやキーボード等を含み、例えばCPU等のプロセッサを含む。命令部53は、センサデータの取得の命令を受け付けた場合に、これを取得部50に通知する。この通知を受けた取得部50は、センサデータを取得する。なお、命令部53は、例えば図3(b)及び図3(c)に示すように、センサデータから評価データを取得するための処理を実施してもよい。

[0088] ここで、センサデータを取得する一例として、FBGセンサを用いる場合を説明する。

[0089] FBGセンサは、1本の光ファイバ内に所定間隔をあけて回折格子構造を形成したである。FBGセンサは、例えばセンサ部分の長さが10mm、波長分解能が $\pm 0.1\text{ pm}$ 、波長範囲が $1550 \pm 0.5\text{ nm}$ 、ファイバの直径が $145\text{ }\mu\text{m}$ 、コア径 $10.5\text{ }\mu\text{m}$ である特徴を持つ。FBGセンサを上記した検出部6として、ユーザの皮膚に接触させた状態で測定をすることができる。

[0090] 例えば光ファイバに用いる光源として、波長範囲 $1525\sim 1570\text{ nm}$

のASE (Amplified Spontaneous Emission) 光源が用いられる。光源からの出射光は、サーキュレータを介してFBGセンサに入射させる。FBGセンサからの反射光は、サーキュレータを介してマッハツェンダー干渉計に導き、マッハツェンダー干渉計からの出力光を、光検出器によって検知する。マッハツェンダー干渉計は、ビームスプリッタにより光路差のある2つの光路に分離し、再びビームスプリッタにより一つに重ね合わせて干渉光を作り出すためのものである。光路差をつけるため、例えば一方の光ファイバの長さを長くしてもよい。コヒーレント光は、光路差に応じて干渉縞が生じるため、干渉縞のパターンを測定することによって、FBGセンサに生じた歪の変化、すなわち脈波を検知することができる。取得部50は、検知された脈波に基づき、センサデータを生成する。これにより、センサデータが取得される。

[0091] なお、FBGセンサの歪み量を検出して、脈波の波形を検出する光ファイバセンサシステムは、FBGセンサに入射させる光源の他に、広い帯域のASE光源、サーキュレータ、マッハツェンダー干渉計、ビームスプリッタといった光学系や、光検出器が備える受光センサや、波長シフト量を解析する解析方法を含む。光ファイバセンサシステムは、使用するFBGセンサの特性に応じて光源や帯域光を選択して使用することができ、検波方法等の解析方法についても種々の方法を採用することができる。

[0092] (第1実施形態：生体情報演算システム100の動作)

次に、本実施形態における生体情報演算システム100の動作の一例について説明する。図6は、本実施形態における生体情報演算システム100の動作の一例を示すフローチャートである。

[0093] 生体情報演算システム100は、例えば生体情報演算装置1内にインストールされた生体情報演算プログラムを介して実行する。即ち、ユーザは、生体情報演算装置1、又はセンサ5を操作し、生体情報演算装置1にインストールされている生体情報演算プログラムを通じて、センサデータからユーザの血糖値の変化等を示した評価結果を取得することができる。

[0094] 生体情報演算システム100の動作は、取得ステップS110と、算出ステップS120と、評価ステップS130とを備え、例えば出力ステップS140を備えてもよい。

[0095] <取得ステップS110>

取得ステップS110は、ユーザの脈波に基づく評価データを取得する。例えばセンサ5の取得部50は、検出部6を介してユーザの脈波を測定し、センサデータを生成する。取得部50は、通信I/F51、及び通信網3を介して、センサデータを生体情報演算装置1へ送信する。生体情報演算装置1の取得部11は、センサ5からセンサデータを受信する。

[0096] 取得部11は、例えば図3(b)に示した処理を、センサデータに対して実施し、評価データを取得する。取得部11は、例えば記憶部15を介して、取得した評価データを保存部104に保存する。なお、取得部11がセンサ5からセンサデータを取得する頻度等の条件は、用途に応じて任意に設定することができる。例えば取得部11は、予め設定された周期で評価データを取得する。この場合、評価結果を生成する際の演算処理を簡素化できるため、処理速度の向上を図ることが可能となる。

[0097] <算出ステップS120>

次に、算出ステップS120は、データベースを参照し、評価データに対するユーザの血糖値を算出する。例えば算出部12は、分類情報を参照し、評価データに対する血糖値を算出する。算出部12は、例えば記憶部15を介して、算出した血糖値を保存部104に保存する。なお、血糖値として、特定の値を示すほか、例えば誤差範囲（例えば「 $○○ \pm 5 \text{ mg/dl}$ 」等）が算出されてもよい。

[0098] <評価ステップS130>

次に、評価ステップS130は、それぞれ異なる評価データから生成された複数の血糖値に基づき、血糖スパイク情報を含む評価結果を生成する。例えば評価部13は、算出部12により生成された複数の血糖値を取得する。評価部13は、予め設定された関数等を用いて、複数の血糖値から血糖スパ

イク情報を算出するほか、例えば上述した評価用データベースを参照して、評価結果を生成してもよい。

[0099] <出力ステップS140>

次に、例えば出力ステップS140は、評価結果を出力してもよい。例えば出力部14は、表示部109に評価結果を出力する。

[0100] これにより、生体情報演算システム100の動作が終了する。なお、各ステップを実施する頻度や順番は、用途に応じて任意に設定できる。

[0101] ここで、ユーザの健康状態を評価する指標の一例として、血糖値の急激な変動を示す血糖スパイクの度合いが挙げられる。血糖スパイクは、糖尿病予備軍特有の特徴として知られているが、血糖スパイクの発生するタイミングや度合いについては、個人差があり、定量的な評価が難しい。また、糖尿病患者は、常に血糖値が高い傾向にあるため、血糖値が血糖スパイクの発生時と類似する。これらのため、ユーザが任意に測定した血糖値が、血糖スパイク発生時の値であるか、糖尿病患者特有の値であるか、の分類が難しく、ユーザが糖尿病予備軍又は糖尿病患者の何れに属するかの判定に主観が含まれる恐れがある。このため、血糖値の変化に関する定量的な評価の実現が望まれている。

[0102] この点、従来技術では、非侵襲により血糖値を算出できる技術の想定に留まり、上述した血糖値の変化に関する課題の発見及び解決に結びつけることが難しい。

[0103] これに対し、本実施形態によれば、算出部12は、評価データに対するユーザの血糖値を算出する。評価部13は、それぞれ異なる評価データから算出された複数の血糖値に基づき、ユーザの血糖値の変化を示す血糖スパイク情報を含む評価結果を生成する。このため、ユーザの個人差に関わらず、血糖値の変化に対する評価結果を得ることができる。これにより、血糖値の変化に関する定量的な評価を実現することが可能となる。

[0104] また、本実施形態によれば、算出部12は、データベースを参照し、評価データに対するユーザの血糖値を算出する。また、データベースには、複数

の学習データを用いて生成された分類情報が記憶される。このため、血糖値を算出する際、過去に実績のあるデータを踏まえた定量的な血糖値を算出することができる。これにより、血糖値を算出する際の精度向上を図ることが可能となる。

[0105] また、本実施形態によれば、評価部13は、複数の血糖値における時系列変化から血糖スパイク情報を算出し、評価結果を生成する。このため、血糖スパイクの強度に加え、形状の特徴も考慮した評価結果を生成することができる。これにより、血糖値の変化に関する評価の精度を向上させることが可能となる。

[0106] (第2実施形態：生体情報演算システム100)

次に、第2実施形態における生体情報演算システム100の一例について説明する。上述した実施形態と、第2実施形態との違いは、付加情報を用いる点である。なお、上述した実施形態と同様の内容については、説明を省略する。

[0107] 本実施形態における生体情報演算システム100では、例えば上述した評価ステップS130のあとに、集計ステップS150が実施され、集計ステップS150のあとに出力ステップS140が実施される。

[0108] 集計ステップS150は、例えば図7に示すように、付加情報を取得し、評価結果及び付加情報に基づき、ユーザの健康状態を評価した総合評価結果を生成する。集計ステップS150は、例えば評価部13に含まれる集計部によって実行することができる。

[0109] 付加情報は、ユーザの生体情報に関する特徴を示し、例えばユーザの脈拍数、呼吸数、血圧、乳酸値、血中二酸化炭素の特徴、酸素飽和度、血管年齢、ストレスレベル、糖尿病の程度等のような、脈波に基づき算出可能な生体情報のうち少なくとも何れかを含む。付加情報は、例えばユーザの運動状態や健康状態を推定する際に用いることができる。なお、付加情報は、例えばユーザの生体情報に関する特徴として、ユーザの性別や年齢等のような属性情報を含むほか、ユーザの運動内容、競技種目等のようなユーザの生体情報

に影響し得る運動に関する情報を含んでもよい。なお、生体情報として、例えば脈波に基づき算出可能な情報を用いることができる。

[0110] なお、「血中二酸化炭素の特徴」とは、血液に含まれる二酸化炭素の程度を示す。血中二酸化炭素の特徴として、例えば血中二酸化炭素分圧（ $P_aCO_2$ ）の値が用いられるほか、血中二酸化炭素の溶存濃度や、血液に含まれる重炭酸・バイカーボネート（ $HCO_3^-$ ）の濃度が用いられてもよく、状況に応じて血液のpHを考慮した値が用いられてもよい。

[0111] 付加情報は、例えば公知の計測装置を用いて計測され、データ形式は任意である。例えば血中二酸化炭素濃度の特徴を計測する場合、計測装置として、経皮血液ガスモニタTCM5（ラジオメーターバーゼル社製）等の装置が用いられる。例えば血中乳酸量を計測する場合、計測装置として、ラクテート・プロ2（アークレイ株式会社製）等の公知の装置が用いられる。例えば酸素飽和度を計測する場合、計測装置として、PULSOX-Neo（コニカミノルタ株式会社製）等の公知の装置が用いられる。また、付加情報を取得するタイミングは、脈波を測定するタイミングと同時のほか、用途に応じて任意のタイミングでもよい。付加情報は、例えば入力部108等を介してユーザが入力してもよく、付加情報の取得方法は任意である。

[0112] 総合評価結果は、ユーザの健康状態を評価した結果を示す。総合評価結果として、「健康」、「不健康」のほか、「運動能力が高い」、「運動能力が低い」等のユーザ毎の健康状態に関連する運動能力の度合いを示す文字列が用いられてもよく、例えば任意の基準値との差分や、偏差値等の数値が用いられてもよい。総合評価結果は、例えば評価結果、及び付加情報の少なくとも何れかを含んでもよい。

[0113] 総合評価結果は、例えばユーザ毎に異なる無酸素性作業閾値等のような公知の閾値を示すほか、例えば嫌気性代謝の度合い等のような運動能力に影響するパラメータの経時変化を示してもよい。運動能力に影響するパラメータとして、酸素摂取量、血中二酸化炭素分圧（ $P_aCO_2$ ）の値、血中二酸化炭素の溶存濃度、血液に含まれる重炭酸・バイカーボネート（ $HCO_3^-$ ）の濃



度、血液のpH等のような血液の組成に関する特徴を示す値が挙げられる。このようなパラメータを付加情報に含ませることで、総合評価結果を高精度に生成することが可能となる。

[0114] 特に、血糖値は、運動状態に依存し得るため、上述した付加情報を用いて評価することで、評価の精度向上を図ることができる。

[0115] 集計ステップS150において、例えば集計部は、予め設定された閾値を参照し、評価結果及び付加情報を閾値と比較した結果を総合評価結果として生成する。例えば、集計部は、評価結果及び付加情報が閾値よりも低い場合、運動能力が高いことを示す総合評価結果を生成し、評価結果及び付加情報が閾値よりも高い場合、運動能力が低いことを示す総合評価結果を生成する。

[0116] 集計部は、例えば予め設定された関数を用いて、付加情報の内容に基づき評価結果を補正した値を、総合評価結果として生成する。例えば評価結果に含まれる血糖スパイク情報は、評価時におけるユーザの運動状態に依存し、例えば運動量に反比例して血糖スパイクのピーク強度が小さくなる傾向を示す。このため、付加情報の内容に基づき、血糖スパイク情報の値を補正することで、血糖値の変化に対する要因を減少させることができ、ユーザの健康状態を高精度に評価することが可能となる。

[0117] 集計部は、例えば予め保存部104等に保存された、ユーザが認識可能なデータ形式を参照し、総合評価結果を生成する。

[0118] 集計部は、例えば後処理用データベースを参照し、評価結果及び付加情報に対して適した総合評価結果を生成してもよい。後処理用データベースは、例えば保存部104に保存される。

[0119] 後処理用データベースには、例えば上述したデータベースと同様に、評価結果及び付加情報に対する総合評価結果を生成するための後処理用分類情報が記憶されてもよい。後処理用データベースには、1つ以上の後処理用分類情報が記憶されるほか、例えば後処理用分類情報の生成に用いられた複数の後処理用学習データが記憶されてもよい。

- [0120] 後処理用分類情報は、例えば予め取得された過去の評価結果及び付加情報（後処理用入力データ）と、後処理用入力データに紐づく後処理用参照データとの相関関係を示す関数である。後処理用参照データは、ユーザの運動能力の評価結果を示す。後処理用分類情報は、後処理用入力データと、後処理用参照データとを一对の後処理用学習データとして、複数の後処理用学習データを用いて生成される。
- [0121] 後処理用分類情報は、例えば後処理用入力データを説明変数とし、後処理用参照データを目的変数とし、上述した回帰分析等により解析し、その解析結果に基づいて生成される検量モデルを示す。後処理用分類情報は、例えば検量モデル（後処理用検量モデル）を定期的に更新することができるほか、例えば付加情報別に生成してもよい。なお、後処理用分類情報は、上述した分類情報と同様に、例えば複数の後処理用学習データを用いた機械学習により生成された、学習済みモデル（後処理用学習済みモデル）を含んでもよい。
- [0122] 本実施形態によれば、上述した実施形態の効果に加え、集計部は、評価結果及び付加情報に基づき、ユーザの健康状態を評価した総合評価結果を生成する。このため、評価結果に加えて、ユーザの生体情報に関する特徴を考慮した総合的な評価を実現することができる。これにより、ユーザの血糖値の変化を踏まえた健康状態を評価することが可能となる。
- [0123] また、本実施形態によれば、付加情報は、脈拍数、呼吸数、血圧、血中二酸化炭素の特徴、乳酸値、及び酸素飽和度の少なくとも何れかを示す。このため、複数の生体情報を踏まえた評価を行うことができる。これにより、評価精度の向上を図ることが可能となる。
- [0124] （第2実施形態：生体情報演算システム100の変形例）
- 次に、第2実施形態における生体情報演算システム100の変形例について説明する。上述した実施形態の一例と、変形例との違いは、血糖値を算出する際、付加情報が用いられる点である。なお、上述した実施形態と同様の内容については、説明を省略する。

- [0125] 本変形例では、例えば図8に示すように、算出ステップS120は、付加情報を取得し、評価データ及び付加情報に基づき、血糖値を算出することを含む。
- [0126] 付加情報は、上述した内容と同様であり、例えば入力部108等を介してユーザが入力し、算出部12等が取得する。算出部12は、例えば付加情報の内容に応じて、評価データに対する演算方法を決定してもよい。この場合、付加情報の種類毎に異なる関数等が、保存部104や評価用データベース内に記憶される。なお、算出部12は、例えば評価データと、付加情報とを組合わせた情報に基づき、血糖値を算出してもよい。
- [0127] 本変形例によれば、算出部12は、データベースを参照し、評価データ及び付加情報に基づき、血糖値を算出する。このため、ユーザの血糖値を算出する際に有効なパラメータを用いることができる。これにより、血糖値を算出する際のさらなる精度向上を図ることが可能となる。
- [0128] (第3実施形態：生体情報演算システム100)  
次に、第3実施形態における生体情報演算システム100の一例について説明する。上述した実施形態と、第3実施形態との違いは、付加情報を生成するための付加データを取得する点である。なお、上述した実施形態と同様の内容については、説明を省略する。
- [0129] 本実施形態における生体情報演算システム100では、取得ステップS110は、付加データを取得することを含む。また、本実施形態における生体情報演算システム100では、算出ステップS120は、付加データに基づく付加情報を生成することを含む。
- [0130] 本実施形態における生体情報演算装置1は、例えば図9に示すように、脈波に基づき生成された1つセンサデータに対し、2種類の処理を実施する。これにより、例えば取得部11は、同一の脈波に基づき、評価データと、評価データとは異なる特徴を示す付加データを取得する。なお、付加データは、複数取得されてもよい。
- [0131] 例えば算出部12は、付加データに基づく付加情報を生成する。本実施形

態では、付加情報は、上述した付加情報のうち、センサデータから算出できる生体情報を含む。なお、生成される付加情報の種類に伴い、例えば付加データを取得する際に用いる前処理の内容等を変更してもよい。

[0132] 算出部12は、例えばデータベースを参照して、付加データから付加情報を生成してもよい。データベースには、例えば付加データに対する付加情報を生成するための付加分類情報が記憶されてもよい。データベースには、1つ以上の付加分類情報が記憶されるほか、例えば付加分類情報の生成に用いられた複数の付加学習データが記憶されてもよい。

[0133] 付加分類情報は、例えば予め取得された過去の付加データ（付加入力データ）と、付加入力データに紐づく付加参照データとの相関関係を示す関数である。付加参照データは、上述した付加情報を含む。付加分類情報は、付加入力データと、付加参照データとを一对の付加学習データとして、複数の付加学習データを用いて生成される。

[0134] 付加分類情報は、例えば付加入力データを説明変数とし、付加参照データを目的変数とし、上述した回帰分析等により解析し、その解析結果に基づいて生成される検量モデルを示す。付加分類情報は、例えば検量モデル（付加検量モデル）を定期的に更新することができるほか、ユーザの性別、年齢、運動内容等の属性情報毎に生成された複数の付加検量モデルを含んでもよい。なお、付加分類情報は、上述した分類情報と同様に、例えば複数の付加学習データを用いた機械学習により生成された、学習済みモデル（付加学習済みモデル）を含んでもよい。

[0135] 例えば図10(a)及び図10(b)に示すように、取得ステップS110において実施される前処理の内容、及び算出ステップS120において参照される付加分類情報の内容が異なる場合がある。以下、脈拍数及び呼吸数を付加情報として算出する例を説明する。

[0136] <脈拍数の算出>

例えば脈拍数を算出する場合、図10(a)に示すように、取得部11は、上述したフィルタ処理をセンサデータに対して実施し、脈波データを抽出

する。

[0137] そして、取得部 11 は、脈波データに対し、ピーク位置算出処理を実施する。ピーク位置算出処理では、脈波データに含まれる複数のピーク（振幅の最大値）を検出し、サンプリングされた順番（測定開始からの時間に相当）を特定する。これにより、取得部 11 は、脈波データに含まれるピーク位置データを取得する。

[0138] その後、取得部 11 は、ピーク位置データに対し、ピーク間隔平均算出処理を実施する。ピーク間隔平均算出処理は、ピーク位置データに含まれるピークの間隔（隣接するピークがサンプリングされた順番の差分）を算出し、例えばピーク間隔の平均値を算出する。その後、取得部 11 は、ピーク間隔又はピーク間隔の平均値に対し、センサデータのサンプリングレートで割り、秒数に相当するピーク間隔を示すデータを、付加データとして取得する。

[0139] その後、算出部 12 は、データベースを参照し、付加データに対する脈拍数を算出する。この際、算出部 12 は、データベースに記憶された付加分類情報のうち、脈拍数用分類情報を参照する。脈拍数用分類情報は、例えば 60 [秒] をピーク間隔で割る関数を示す。このため、算出部 12 は、例えば付加データ（ピーク間隔 = 0.85 [秒]）に対する脈拍数（= 71 [bpm]）を算出することができる。これにより、算出部 12 は、脈拍数を含む付加情報を生成することができる。

[0140] <呼吸数の算出>

例えば呼吸数を算出する場合、図 10 (b) に示すように、取得部 11 は、上述したフィルタ処理をセンサデータに対して実施し、脈波データを抽出する。

[0141] その後、取得部 11 は、脈波データに対し、フーリエ変換処理を実施する。フーリエ変換処理では、例えばサンプリング時間対振幅を示す脈波データが、周波数対強度を示す周波数データに変換される。これにより、取得部 11 は、脈波データに対する周波数データを取得する。

[0142] その後、取得部 11 は、周波数データに対し、最大周波数検出処理を実施

する。最大周波数検出処理では、周波数データのうち、 $0.15 \sim 0.35$  Hzの間における最大強度の周波数が特定される。これにより、取得部11は、特定された周波数の値を、付加データとして取得する。

[0143] その後、算出部12は、データベースを参照し、付加データに対する呼吸数を算出する。この際、算出部12は、データベースに記憶された付加分類情報のうち、呼吸数用分類情報を参照する。呼吸数用分類情報は、例えば特定された周波数に60 [秒] をかける関数を示す。このため、算出部12は、例えば付加データ（特定された周波数 =  $0.225$  Hz）に対する呼吸数（ $= 13.5$  [bpm]）を算出することができる。これにより、算出部12は、例えば呼吸数を含む付加情報を生成することができる。

[0144] このように、生体情報演算装置1では、付加情報に含ませるデータの内容に応じて、センサデータに対する前処理を設定し、参照するデータベースの内容を任意に設定することができる。

[0145] 本実施形態における生体情報演算システム100では、例えば図11に示すように、出力部14は、生成された付加情報を出力してもよい。この場合、評価結果とは異なる情報を参照して生成された付加情報を利用ことができ、ユーザ等は多角的な判断を実施することができる。これにより、ユーザの要求に応じた適切な評価を容易に実現することが可能となる。

[0146] 本実施形態によれば、上述した実施形態の効果に加え、取得部11は、脈波に基づき、評価データとは異なる特徴を示す付加データを取得する。また、算出部12は、付加データに基づく付加情報を生成する。即ち、1つの脈波に基づき、評価結果及び付加情報が生成される。このため、同一のパラメータに基づく複数種類の情報を用いることで、多角的な観点を踏まえた総合的な算出や評価を実現することが可能となる。

[0147] （第4実施形態：生体情報演算システム100）

次に、第4実施形態における生体情報演算システム100の一例について説明する。上述した実施形態と、第4実施形態との違いは、評価ステップS130において上述した付加情報を取得する点である。なお、上述した実施

形態と同様の内容については、説明を省略する。

[0148] 本実施形態における生体情報演算システム100では、例えば図12に示すように、評価ステップS130は、付加情報を取得し、複数の血糖値、及び付加情報に基づき、評価結果を生成することを含む。

[0149] 付加情報は、上述した内容と同様であり、例えば入力部108等を介してユーザが入力し、評価部13等が取得する。例えば取得部11で取得された付加データに基づき、算出部12で生成された付加情報を、評価部13が取得してもよい。

[0150] 評価部13は、例えば付加情報の内容に応じて、複数の血糖値に対する演算方法を決定してもよい。この場合、付加情報の種類毎に異なる関数等が、保存部104やデータベース内に記憶される。なお、評価部13は、例えば複数の血糖値と、付加情報とを組合わせた情報に基づき、評価結果を生成してもよい。

[0151] 本実施形態によれば、上述した実施形態の効果に加え、評価部13は、付加情報を取得し、複数の血糖値及び付加情報に基づき、評価結果を生成することを含む。このため、複数の血糖値に加えて、ユーザの特徴を考慮した多角的な評価結果を生成することが可能となる。

[0152] (第5実施形態：生体情報演算システム100)

次に、第5実施形態における生体情報演算システム100の一例について説明する。上述した実施形態と、第5実施形態との違いは、分類情報に含まれる複数の属性別分類情報から、評価データに適した属性別分類情報を選択する点である。なお、上述した実施形態と同様の内容については、説明を省略する。

[0153] 本実施形態における生体情報演算装置1では、例えば図13に示すように、算出ステップS120が、選択ステップS121と、属性別算出ステップS122とを含む。

[0154] 選択ステップS121は、予備評価データを参照し、複数の属性別分類情報のうち特定の属性別分類情報（例えば第1分類情報）を選択する。選択ス

ステップS 1 2 1は、例えば算出部1 2に含まれる選択部によって実行することができる。

[0155] 予備評価データは、評価データとは異なる特徴を示し、例えば上述した付加データと同様の特徴を示す。予備評価データは、例えば上述した付加データと同様に、付加情報を生成するため等に用いてもよい。

[0156] 属性別算出ステップS 1 2 2は、選択した第1分類情報を参照し、評価データに対する血糖値を算出する。属性別算出ステップS 1 2 2は、例えば算出部1 2に含まれる属性別算出部によって実行することができる。

[0157] 複数の属性別分類情報は、それぞれ異なる学習データを用いて算出される。例えば学習データの入力データとして、被検者の加速度脈波に相当するデータが用いられる場合、例えば図1 4のような7種類（A～G）毎に入力データを準備し、7種類の属性分類情報を生成する。

[0158] このような複数の属性別分類情報がデータベースに記憶される場合、例えば取得部1 1は、ユーザの加速度脈波に相当する評価データ、及び予備評価データを取得する。そして、算出部1 2は、予備評価データを参照し、第1分類情報を選択する。その後、算出部1 2は、第1分類情報を参照し、評価データに対する血糖値を算出する。このため、各属性分類情報のうち、ユーザに最適な分類情報を選択することができる。

[0159] なお、例えば学習データの入力データとして、被検者の速度脈波に相当するデータが用いられる場合、例えば図1 5のような2種類（グループ1、グループ2）毎に入力データを準備し、2種類の属性分類情報を生成してもよい。

[0160] ここで、図1 4に示す加速度脈波に相当するデータは、特徴に基づく詳細な分類が容易である反面、血液の組成に関する特徴を算出する際、ピークの誤検出等に伴う精度低下が懸念として挙げられる。また、図1 5に示す速度脈波に相当するデータは、加速度脈波に相当するデータに比べ、特徴に基づく詳細な分類が困難であるが、ピークの誤検出等が少ないため、血糖値を高精度に算出し得る。



- [0161] 上記を踏まえ、複数の属性分類情報は、特定の分類情報を選択するために用いられる選択用データとして、例えば図14のような加速度脈波に相当するデータを含み、属性分類情報を生成する際の学習データには、速度脈波に相当するデータが用いられてもよい。
- [0162] この場合、取得ステップS110として、例えば取得部11は、ユーザの脈波に基づくセンサデータから、速度脈波に相当するデータを評価データとして取得する。また、取得部11は、センサデータから、加速度脈波に相当するデータを予備評価データとして取得する。
- [0163] 次に、選択ステップS121として、例えば算出部12は、予備評価データを参照し、加速度脈波に相当するデータを含む複数の選択用データのうち、予備評価データに最も類似する選択用データ（第1選択用データ）を特定し、第1選択用データに紐づく第1分類情報を選択する。そして、属性別算出ステップS122として、算出部12は、第1分類情報を参照し、評価データに対する血糖値を算出する。これにより、評価精度のさらなる向上を図ることが可能となる。
- [0164] ここで、上述した選択用データ等に用いられるデータの一例を説明する。
- [0165] 例えば図14に示すように、加速度脈波には、a~eの変曲点が存在する。例えば、加速度脈波における最大のピークをa点とし、a点から順に各変曲点をb点、c点、d点、e点とし、a点を1とし、最小値であるb点もしくはd点を0とした規格化を行った場合、加速度脈波は、各変曲点の値と、その差の大小関係により分類する方法を用いて、7パターンに分類することができる。まず、変曲点の値が $b < d$ の場合は、パターンAまたはBに分類する。 $b < d$ でさらに $c \geq 0.5$ であればA、そうでなければBに分類する。次に変曲点の値が $b \doteq d$ の場合、パターンCまたはDに分類する。 $b \doteq d$ でさらに $c \doteq 0$ の場合はパターンD、そうでなければパターンCに分類する。最後に、 $b > d$ の場合は、パターンE、F、Gの何れかに分類できる。 $b > d$ でさらに $b < c$ であればパターンEに、 $b \doteq c$ であればパターンF、 $b > c$ であればパターンGに分類する。

[0166] 例えば算出部12は、予備評価データが、例えば図14のどのパターンに当てはまるかを判断し、第1選択用データを特定する。例えば、入力された予備評価データの変曲点bが変曲点dより小さく、さらに変曲点 $c \geq 0.5$ であれば、パターンAを第1選択用データとする。これにより、評価データの特徴に適した分類情報を参照し、血糖値を精度良く算出することができる。

[0167] 本実施形態によれば、上述した実施形態の効果に加え、算出部12は、予備評価データを参照し、第1分類情報を選択する選択部と、第1分類情報を参照し、評価データに対する血糖値を算出する属性別算出部とを含む。このため、脈波の特徴に対して最適な属性分類情報を選択した上で、評価データに対する血糖値を算出することができる。これにより、評価精度のさらなる向上を図ることが可能となる。

[0168] また、本実施形態によれば、取得部11は、脈波に基づく速度脈波に相当するデータを、評価データとして取得する。また、取得部11は、脈波に基づく加速度脈波に相当するデータを、予備評価データとして取得する。このため、速度脈波に比べて、脈波の特徴を分類し易い加速度脈波を用いて、属性分類情報を選択することができる。また、加速度脈波に比べて血糖値を算出し易い速度脈波を用いて血糖値を算出することができる。これにより、評価精度のさらなる向上を図ることが可能となる。

[0169] (第5実施形態：生体情報演算システム100の変形例)

次に、第5実施形態における生体情報演算システム100の変形例について説明する。上述した実施形態の一例と、変形例との違いは、付加情報に基づき第1分類情報を選択する点である。なお、上述した実施形態と同様の内容については、説明を省略する。

[0170] 本変形例では、例えば図16に示すように、算出ステップS120は、付加情報を取得する。また、算出ステップS120は、分類情報のうち、付加情報に基づき第1分類情報を選択し、第1分類情報を参照し、評価データに対する血糖値を算出する。

[0171] 例えば算出部12は、上述した実施形態と同様の付加情報を取得する。算出部12は、例えば上述した付加データに基づき生成された付加情報を取得してもよい。

[0172] 例えば分類情報は、予め付加情報の特徴別に振り分けられた関数や検量モデル等を複数含む。この場合、算出部12は、分類情報のうち、付加情報の特徴に適した関数等（例えば第1分類情報）を選択することができる。なお、第1分類情報を選択する方法として、公知の技術が用いられてもよい。

[0173] 本変形例によれば、算出部12は、付加情報に基づき選択された第1分類情報を参照し、評価データに対する血糖値を算出することを含む。このため、ユーザの特徴に対して最適な分類情報を選択した上で、評価データに対する血糖値を算出することができる。これにより、評価精度のさらなる向上を図ることが可能となる。

[0174] （第6実施形態：生体情報演算システム100）

次に、第6実施形態における生体情報演算システム100の一例について説明する。上述した実施形態と、第6実施形態との違いは、ユーザの状態としてユーザの健康状態を示す点である。なお、上述した実施形態と同様の内容については、説明を省略する。

[0175] 本実施形態における生体情報演算システム100は、ユーザの健康状態に関する評価結果を生成するために用いられる。ユーザの健康状態に関する評価結果は、ユーザの健康診断の結果、健康の度合いを示す指数、ユーザの健康状態に応じた保険料等を示す。

[0176] 生体情報演算システム100は、ユーザの脈波に基づく評価データから、血糖値を含む血糖値評価結果を算出し、評価データ及び血糖値評価結果から評価結果を生成する。

[0177] 生体情報演算システム100では、例えば図17(a)に示すように、生体情報演算装置1が、センサ5等により生成されたセンサデータを取得する。その後、生体情報演算装置1は、取得したセンサデータに対し、フィルタ処理等の前処理を実施し、評価データを取得する。

- [0178] 生体情報演算装置 1 は、評価データに対する血糖値評価結果を算出し、評価データ及び血糖値評価結果に対する評価結果を生成する。このため、脈波の特徴に基づき取得された評価データ及び血糖値評価結果から、評価結果を生成することができる。これにより、ユーザの評価結果を、高精度に生成することが可能となる。
- [0179] 生体情報演算装置 1 は、評価データに対する血糖値評価結果を生成する際、データベースを参照する。データベースには、上述した実施形態と同様に、複数の学習データを用いて生成された分類情報が記憶される。
- [0180] 分類情報は、例えば図 3 (a) に示すように、過去に取得された学習用脈波に基づく入力データ、及び入力データに紐づく血糖値を含む参照データの一対を学習データとして、複数の学習データを用いて生成される。このため、血糖値評価結果を生成する際、過去に実績のある入力データ及び出力データを踏まえた定量的な血糖値を含ませることができる。これにより、評価結果を生成する際の精度向上を図ることが可能となる。
- [0181] 生体情報演算装置 1 は、例えば生成した評価結果をディスプレイ等に出力する。
- [0182] なお、生体情報演算システム 100 では、例えば図 17 (b) に示すように、センサ 5 等から評価データを取得してもよい。この場合、センサデータから評価データを取得する前処理は、センサ 5 等により実施される。
- [0183] 評価データは、血糖値評価結果及び評価結果を生成するためのデータを示す。
- [0184] データベースは、主に、評価データに対する評価結果を生成する際に用いられる。データベースには、1 つ以上の分類情報が記憶されるほか、例えば分類情報の生成に用いられた複数の学習データが記憶されてもよい。分類情報は、例えば予め取得された過去の評価データ（入力データ）と、血糖値を含む参照データとの相関関係を示す関数であり、詳細は上述した実施形態と同様のため、省略する。
- [0185] 分類情報は、上述した実施形態と同様に、例えば予め取得された過去の評

価データ（入力データ）と、血糖値を含む参照データとの相関関係を示す関数である。

[0186] <血糖値評価結果>

血糖値評価結果は、参照データと同種のデータとして生成され、血糖値を含む。血糖値評価結果は、分類情報を参照し、参照データと同一又は類似のデータとして生成される。なお、血液情報は、血糖値評価結果を含む。

[0187] 生体情報演算システム100では、例えば任意の時系列に沿って複数の評価データを取得し、各評価データに対する血糖値評価結果を複数生成する。また、生体情報演算システム100では、例えば運動量の変化時等の任意のタイミング毎に複数の評価データを取得し、各評価データに対する血糖値評価結果を複数生成してもよい。

[0188] 評価結果は、ユーザの健康状態に関する情報を示す。評価結果は、例えば複数の血糖値評価結果及び評価データを含むほか、一对の評価データ及び血糖値評価結果における差分値や、複数の評価データ及び血糖値評価結果に基づき導出した公知の閾値を含んでもよい。評価結果を出力することで、ユーザの健康状態を把握することができる。

[0189] 本実施形態における生体情報演算装置1の取得部11は、例えば入力部108等を介してユーザが入力した、ユーザの特徴、運動内容、競技種目等のような評価対象の情報を取得し、評価データに含ませてもよい。評価対象の情報は、例えば血糖値評価結果、又は評価結果を生成する際に利用してもよい。

[0190] 算出部12は、データベースを参照し、評価データに対する血糖値評価結果を算出する。算出部12は、例えばデータベースに記憶された分類情報を参照し、評価データに対する血糖値を算出し、血糖値評価結果として算出する。算出部12は、それぞれ異なる評価データに対する血糖値評価結果を、複数算出する。

[0191] 評価部13は、評価データ及び評価データから生成された血糖値評価結果に基づき、評価結果を生成する。評価部13は、例えば保存部104等に予

め記憶された表示用のフォーマットを用いて、健康状態についてユーザが理解できる形式に変換した評価結果を生成する。

[0192] 評価部13は、例えば評価用データベースを参照して、評価データ及び血糖値評価結果から評価結果を生成してもよい。

[0193] 評価用データベースには、例えば上述したデータベースと同様に、評価データ及び血糖値評価結果に対する評価結果を生成するための評価用分類情報が記憶されてもよい。評価用データベースには、1つ以上の評価用分類情報が記憶されるほか、例えば評価用分類情報の生成に用いられた複数の評価用学習データが記憶されてもよい。

[0194] 評価用分類情報は、例えば予め取得された過去の評価データ及び血糖値評価結果（評価用入力データ）と、評価用入力データに紐づく評価用参照データとの相関関係を示す関数である。

[0195] （第6実施形態：生体情報演算システム100の動作）

次に、本実施形態における生体情報演算システム100の動作の一例について説明する。なお、上述した実施形態と同様の内容については、説明を省略する。

[0196] 算出ステップS120は、データベースを参照し、評価データに対する血糖値を含む血糖値評価結果を生成する。例えば算出部12は、分類情報を参照し、評価データに対する血糖値を算出する。算出部12は、算出した値を含む血糖値評価結果を生成する。算出部12は、例えば記憶部15を介して、生成した血糖値評価結果を保存部104に保存する。なお、血糖値として、特定の値を示すほか、例えば誤差範囲（例えば「 $\text{〇〇} \pm 5 \text{ mg/dL}$ 」等）が算出されてもよい。

[0197] 評価ステップS130は、評価データ及び評価データから生成された血糖値評価結果に基づき、評価結果を生成する。例えば評価部13は、評価データ及び算出部12により生成された血糖値評価結果を取得する。評価部13は、予め設定された関数等を用いて、評価データ及び血糖値評価結果から評価結果を生成するほか、例えば上述した評価用データベースを参照して、評

価結果を生成してもよい。

[0198] 評価部13は、例えば血糖値評価結果に評価データを組み合わせ、評価結果を生成する。この場合、予め設定された関数等を用いるほか、評価用データベースを参照して、評価結果を生成してもよい。これにより、ユーザの脈波の特徴を容易に考慮することができ、評価結果の精度を向上させることが可能となる。

[0199] ここで、脈波の波形信号は、ユーザの性別や年齢などの属性により、脈波の波形信号から生成できる血糖値の数値にばらつきが生じる場合がある。例えば、20代の男性をユーザとして、測定した脈波を処理した場合と、50代の女性をユーザとして、測定した脈波を処理した場合とを比較したとき、処理の方法によって、生成できる血糖値の精度にばらつきが生じることが懸念される。すなわち、脈波の波形信号から生成した血糖値を用いて、十分な精度があるユーザの健康状態に関する評価結果を取得するためには、ユーザの特徴に合わせた処理を行う必要がある。

[0200] 一方、従来技術では、脈波の波形信号から生成した血糖値に対して、ユーザの特徴に合わせた処理を経て、ユーザの健康状態に関する評価結果を生成することが想定されていない。このため、従来技術では、ユーザの特徴に合わせた処理が想定されていないため、ユーザの健康状態に関する評価結果を、高精度に生成できない懸念が挙げられる。

[0201] これに対し、本実施形態によれば、算出部12は、評価データに対する血糖値含む血糖値評価結果を生成する。評価部13は、評価データ及び評価データから生成された血糖値評価結果に基づき、ユーザの健康状態に関する評価結果を生成する。このため、脈波の特徴に基づき取得された評価データ及び血糖値評価結果から、評価結果を生成することができる。これにより、ユーザの評価結果を、高精度に生成することが可能となる。

[0202] また、本実施形態によれば、算出部12は、データベースを参照し、評価データに対する血糖値評価結果を生成する。また、データベースには、複数の学習データを用いて算出された分類情報が記憶される。このため、評価結

果を生成する際、過去に実績のあるデータを踏まえた定量的な血糖値を含ませることができる。これにより、評価結果を生成する際の精度向上を図ることが可能となる。

[0203] また、本実施形態によれば、分類情報は、入力データを説明変数とし、参照データを目的変数としたPLS回帰分析を用いて得られた検量モデルである。このため、機械学習等を用いて分類情報を算出する場合に比べて、学習データの数を大幅に減らすことができるとともに、検量モデルの更新を容易に実施することができる。これにより、生体情報演算システム100の構築及び更新の容易化を図ることが可能となる。

[0204] (第7実施形態：生体情報演算システム100)

次に、第7実施形態における生体情報演算システム100の一例について説明する。上述した実施形態と、第7実施形態との違いは、評価データの特徴に基づき、血糖値評価結果から評価結果を生成するための関数を選択し、血糖値評価結果から評価結果を生成する点である。なお、上述した実施形態と同様の内容については、説明を省略する。

[0205] 評価部13は、例えば評価データの特徴に応じて、血糖値評価結果に対する演算方法を決定してもよい。この場合、評価データの特徴毎に異なる血糖評価結果から評価結果を生成するための関数等が、例えば保存部104等に保存された評価用データベース内に記憶される。評価部13は、例えば評価データにおけるピークの強度や形状等の特徴に基づき、保存部104に記憶された関数を選択し、血糖値評価結果から評価結果を生成してもよい。評価部13は、例えば評価データの特徴に基づき、複数の評価用分類情報から、評価データに適した評価用分類情報を上述した関数として選択してもよい。

[0206] 「評価データの特徴」は、例えば評価データとして、ユーザの加速度脈波に相当するデータが用いられる場合、図14のような7種類の何れかの分類パターンに属するかによって決められてもよい。また、「評価データのピークの特徴」は、例えば評価データとして、ユーザの速度脈波に相当するデータが用いられる場合、図15のような2種類の何れかの分類パターンに属す



るかによって決められてもよい。

[0207] 評価用データベースには、例えば上述したデータベースと同様に、血糖値評価結果に対する評価結果を生成するための評価用分類情報が記憶されてもよい。評価用データベースには、1つ以上の評価用分類情報が記憶されるほか、例えば評価用分類情報の生成に用いられた複数の評価用学習データが記憶されてもよい。

[0208] 評価用分類情報は、例えば予め取得された過去の評価データに紐づく血糖値評価結果（評価用入力データ）と、評価用入力データに紐づく評価用参照データとの相関関係を示す関数である。評価用参照データは、ユーザの評価結果を示す。評価用分類情報は、評価用入力データと、評価用参照データとを一对の評価用学習データとして、複数の評価用学習データを用いて生成される。

[0209] 本実施形態における生体情報演算システム100では、例えば図18に示すように、評価ステップS130が、評価用選択ステップS131と、属性別評価ステップS132とを含む。

[0210] 評価用選択ステップS131は、評価データを参照し、複数の属性別評価用分類情報のうち特定の評価用分類情報（例えば第1評価用分類情報）を選択する。評価用選択ステップS131は、例えば評価部13に含まれる評価用選択部によって実行することができる。

[0211] 属性別評価ステップS132は、選択した第1評価用分類情報を参照し、血糖値評価結果に対する評価結果を生成する。属性別評価ステップS132は、例えば評価部13に含まれる属性別評価部によって実行することができる。

[0212] 複数の属性別評価用分類情報は、血糖値評価結果から評価結果を生成するためのそれぞれ異なる関数を含む。また、複数の属性別評価用分類情報は、学習データを用いて算出されてもよい。例えば学習データの入力データとして、上述したそれぞれの分類パターンの評価データに紐づく血糖値評価結果が用いられる。この場合、例えば図14のような7種類の分類パターンの評

価データにそれぞれ紐づく血糖値評価結果毎に入力データを準備し、7種類の属性別評価用分類情報を生成する。

[0213] このような複数の属性別評価用分類情報がデータベースに記憶される場合、例えば取得部11は、ユーザの加速度脈波に相当する評価データを取得する。そして、評価部13は、評価データのピークの特徴を参照し、第1評価用分類情報を選択する。その後、評価部13は、第1評価用分類情報を参照し、血糖値評価結果に対する評価結果を生成する。このため、各属性別評価用分類情報のうち、ユーザに最適な評価用分類情報を選択することができる。

[0214] なお、例えば学習データの入力データとして、被検者の速度脈波に相当するデータが用いられる場合、例えば図15のような2種類の分類パターンの評価データにそれぞれ紐づく血糖値評価結果毎に入力データを準備し、2種類の属性別評価用分類情報を生成してもよい。これにより、評価精度のさらなる向上を図ることが可能となる。

[0215] 本実施形態によれば、上述した実施形態の効果に加え、評価部13は、評価データの特徴に基づき、血糖値評価結果から評価結果を生成するための関数を選択する。このため、ユーザ毎に異なる評価データの特徴に応じて、適切な関数を選択することができる。これにより、ユーザの評価結果を、高精度に生成することが可能となる。

[0216] (第8実施形態：生体情報演算システム100)

次に、第8実施形態における生体情報演算システム100の一例について説明する。上述した実施形態と、第8実施形態との違いは、集計ステップS150を備える点である。なお、上述した実施形態と同様の内容については、説明を省略する。

[0217] 本実施形態における生体情報演算システム100の集計ステップS150では、例えば上述した評価部13は、それぞれ異なる評価データから生成された複数の血糖値評価結果に基づき、血糖トレンドを生成する。また、評価部13は、評価データ及び血糖トレンドから評価結果を生成する。血糖トレ

ンドは、例えば、図19に示すような血糖値の時間 $t$ に対する変化を示すグラフ等である。また、血糖トレンドは、例えば血糖値の時間 $t$ に対する変化を示すグラフを時間 $t$ で微分又は積分したものであってもよい。また、血糖トレンドには、血糖値の極大点を示す血糖値スパイクが含まれてもよい。また、血糖トレンドには、HbA1cの値が含まれてもよい。

[0218] 評価部13は、例えばそれぞれ異なる評価データから生成された複数の血糖値評価結果を取得し、当該血糖値評価結果における時系列変化から、ユーザの血糖値の傾向に関する血糖トレンドを取得する。

[0219] 評価部13は、例えば評価用データベースを参照して、評価データ及び血糖トレンドから評価結果を生成してもよい。

[0220] 評価用データベースには、例えば上述したデータベースと同様に、評価データ及び血糖トレンドに対する評価結果を生成するための評価用分類情報が記憶されてもよい。評価用データベースには、1つ以上の評価用分類情報が記憶されるほか、例えば評価用分類情報の生成に用いられた複数の評価用学習データが記憶されてもよい。

[0221] 評価用分類情報は、例えば予め取得された過去の評価データ及び血糖トレンド（評価用入力データ）と、評価用入力データに紐づく評価用参照データとの相関関係を示す関数である。評価用参照データは、ユーザの評価結果を示す。評価用分類情報は、評価用入力データと、評価用参照データとを一对の評価用学習データとして、複数の評価用学習データを用いて生成される。

[0222] 本実施形態によれば、上述した実施形態の効果に加え、評価S130は、それぞれ異なる評価データから生成された複数の血糖値評価結果における時系列変化から、ユーザの血糖値の傾向に関する血糖トレンドを取得し、血糖トレンド及び評価データから評価結果を生成する。このため、ユーザ毎に異なる血糖値スパイク等の血糖値の特徴を容易に把握することができる。これにより、ユーザの評価結果を、高精度に生成することが可能となる。

[0223] （第8実施形態：生体情報演算システム100の動作）

次に、本実施形態における生体情報演算システム100の動作の一例につ

いて説明する。図20は、本実施形態における生体情報演算システム100の動作の一例を示すフローチャートである。本実施形態における生体情報演算システム100の動作は、図20に示すように評価ステップS130が、集計ステップS150を含む。

[0224] <集計ステップS150>

集計ステップS150は、例えばそれぞれ異なる評価データから生成された複数の血糖値評価結果を取得し、当該血糖値評価結果における時系列変化から、ユーザの血糖値の傾向に関する血糖トレンドを取得する。集計ステップS150は、例えば生体情報演算装置1に含まれる評価部13によって実行することができる。

[0225] <評価ステップS130>

次に、評価ステップS130は、評価データ及び血糖トレンドに基づき、評価結果を生成する。例えば評価部13は、評価データ及び算出部12により生成された血糖トレンドを取得する。評価部13は、予め設定された関数等を用いて、評価データ及び血糖トレンドから評価結果を生成するほか、例えば上述した評価用データベースを参照して、評価結果を生成してもよい。このため、ユーザ毎に異なる血糖値スパイク等の血糖値の特徴を容易に把握することができる。これにより、ユーザの評価結果を、高精度に生成することが可能となる。

[0226] 評価ステップS130は、例えば図21に示すように、上述した付加情報を取得し、評価データ、血糖値評価結果及び付加情報に基づき、評価結果を生成する。また、評価ステップS130は、集計ステップS150を含んでもよい。この場合、評価ステップS130は、付加情報を取得し、評価データ、血糖トレンド及び付加情報に基づき、評価結果を生成する。

[0227] 評価部13は、例えば評価用データベースを参照し、評価データ、血糖値評価結果及び付加情報に対して適した評価結果を生成してもよい。

[0228] 評価用分類情報は、例えば予め取得された過去の評価データ、血糖値評価結果及び付加情報（評価用入力データ）と、評価用入力データに紐づく評価

用参照データとの相関関係を示す関数である。評価用参照データは、ユーザの評価結果を示す。評価用分類情報は、評価用入力データと、評価用参照データとを一对の評価用学習データとして、複数の評価用学習データを用いて生成される。

[0229] 本実施形態によれば、上述した実施形態の効果に加え、評価部13は、ユーザの特徴を示す付加情報を取得し、評価データ、血糖値評価結果及び付加情報に基づき、評価結果を生成することを含む。このため、複数種類の情報を用いることで、多角的な観点を踏まえた総合的な評価を実現することができる。これにより、ユーザの評価結果を、さらに高精度に生成することが可能となる。

[0230] (第9実施形態：生体情報演算システム100)

次に、第9実施形態における生体情報演算システム100の一例について説明する。上述した実施形態と、第9実施形態との違いは、算出ステップS120において上述した付加情報を取得し、評価データ及び付加情報に基づいて、血糖値評価結果を生成する点である。なお、上述した実施形態と同様の内容については、説明を省略する。

[0231] 本実施形態における生体情報演算システム100では、例えば図22に示すように、算出ステップS120は、付加情報を取得し、評価データ、及び付加情報に基づき、血糖値評価結果を生成することを含む。また、評価ステップS130は、集計ステップS150を含んでもよい。この場合、評価ステップS130は、評価データ及び血糖トレンドに基づき、評価結果を生成する。

[0232] 付加情報は、上述した内容と同様であり、例えば入力部108等を介してユーザが入力し、算出部12等が取得する。例えば取得部11で取得された付加データに基づき、算出部12で生成された付加情報を、算出部12が取得してもよい。

[0233] 算出部12は、例えば付加情報の内容に応じて、血糖値評価結果に対する演算方法を決定してもよい。この場合、付加情報の種類毎に異なる関数等が

、保存部104や評価用データベース内に記憶される。なお、算出部12は、例えば評価データと、付加情報とを組合わせた情報に基づき、血糖値評価結果を生成してもよい。

[0234] 本実施形態によれば、上述した実施形態の効果に加え、算出部12は、付加情報を取得し、及び評価データ、及び付加情報に基づき、血糖値評価結果を生成することを含む。このため、ユーザの血糖値評価結果に相関のあるパラメータを利用し、多角的な観点を踏まえた総合的な評価を実現することができる。これにより、ユーザの評価結果を、さらに高精度に生成することが可能となる。

[0235] (第10実施形態：生体情報演算システム100)

次に、第10実施形態における生体情報演算システム100の一例について説明する。上述した実施形態と、第10実施形態との違いは、付加情報に基づき、複数の分類情報から、評価データに適した分類情報を選択する点である。なお、上述した実施形態と同様の内容については、説明を省略する。

[0236] 本実施形態における生体情報演算装置1では、例えば図23に示すように、算出ステップS120が、選択ステップS121と、属性別算出ステップS122とを含む。また、評価ステップS130は、集計ステップS150を含んでもよい。この場合、評価ステップS130は、評価データ及び血糖トレンドに基づき、評価結果を生成する。

[0237] 選択ステップS121は、付加情報を参照し、複数の属性別分類情報のうち特定の分類情報（例えば第1分類情報）を選択する。選択ステップS121は、例えば算出部12に含まれる選択部によって実行することができる。

[0238] 属性別算出ステップS122は、生体情報演算装置1は、選択した第1分類情報を参照し、評価データに対する血糖値を算出し、血糖値評価結果を生成する。属性別算出ステップS122は、例えば算出部12に含まれる属性別生成部によって実行することができる。

[0239] 複数の属性別分類情報は、それぞれ異なる学習データを用いて算出される。例えば学習データの入力データとして、付加情報の特徴毎に入力データを

準備し、複数の属性別分類情報を生成する。例えば、付加情報がユーザの年齢である場合、10歳～30歳、30歳～50歳、50歳～70歳等のように年齢層毎に入力データを準備してもよい。

[0240] このような複数の属性別分類情報がデータベースに記憶される場合、例えば取得部11は、評価データ、及び付加情報を取得する。そして、算出部12は、付加情報を参照し、第1分類情報を選択する。その後、算出部12は、第1分類情報を参照し、評価データに対する血糖値評価結果を生成する。このため、各属性別分類情報のうち、ユーザに最適な分類情報を選択することができる。

[0241] この場合、取得ステップS110として、例えば取得部11は、ユーザの評価データと付加情報としてユーザの年齢とを取得する。

[0242] 次に、選択ステップS121として、例えば算出部12は、付加情報を参照し、付加情報に紐づく第1分類情報を選択する。そして、属性別算出ステップS122として、算出部12は、第1分類情報を参照し、評価データに対する血糖値評価結果を生成する。これにより、評価精度のさらなる向上を図ることが可能となる。

[0243] 本実施形態によれば、上述した実施形態の効果に加え、算出部12は、付加情報を参照し、第1分類情報を選択する選択部と、第1分類情報を参照し、評価データに対する血糖値評価結果を生成する属性別生成部とを含む。このため、付加情報に対して最適な属性別分類情報を選択した上で、評価データに対する血糖値評価結果を生成することができる。これにより、評価精度のさらなる向上を図ることが可能となる。

[0244] (第11実施形態：生体情報演算システム100)

次に、第11実施形態における生体情報演算システム100の一例について説明する。上述した実施形態と、第11実施形態との違いは、血液情報が血液の組成に関する特徴を含み、ユーザの状態としてユーザの運動能力を示す点である。なお、上述した実施形態と同様の内容については、説明を省略する。

- [0245] 本実施形態における生体情報演算システム100は、ユーザの運動能力に関する情報を生成するために用いられる。ユーザの運動能力に関する情報は、例えばユーザの運動能力の傾向や、特定の基準値に関する乖離度等を示す。
- [0246] 運動能力の傾向は、例えばユーザ毎に異なる無酸素性作業閾値等のような公知の閾値を示すほか、例えば嫌気性代謝の度合い等のような運動能力に影響するパラメータの経時変化を示す。運動能力に影響するパラメータとして、酸素摂取量、血中二酸化炭素分圧 ( $P_aCO_2$ ) の値、血中二酸化炭素の溶存濃度、血液に含まれる重炭酸・バイカーボネート ( $HCO_3^-$ ) の濃度、血液のpH等のような血液の組成に関する特徴を示す値が挙げられる。
- [0247] 生体情報演算システム100は、ユーザの脈波に基づく評価データから、血液の組成に関する特徴を含む血液情報を生成する。また、生体情報演算システム100は、例えば時系列で生成された複数の血液情報に基づき、ユーザの運動能力の傾向を示した評価結果を生成する。
- [0248] 生体情報演算システム100では、例えば図24(a)に示すように、生体情報演算装置1が、センサ5等により生成されたセンサデータを取得する。その後、生体情報演算装置1は、取得したセンサデータに対し、フィルタ処理等の前処理を実施し、評価データを取得する。
- [0249] 生体情報演算装置1は、評価データに対する血液情報を生成する。その後、生体情報演算装置1は、それぞれ異なる評価データから生成された複数の血液情報に基づき、評価結果を生成する。このため、個人の特徴、運動内容、競技種目のような評価対象の影響に関わらず、血液の組成に関する特徴から、評価結果を直接生成することができる。これにより、ユーザの運動能力に関する情報を、高精度に生成することが可能となる。
- [0250] ここで、生体情報演算装置1は、評価データに対する血液情報を生成する際、データベースを参照する。データベースには、複数の学習データを用いて生成された分類情報が記憶される。
- [0251] 分類情報は、例えば図3(a)に示すように、過去に取得された学習用脈



波に基づく入力データ、及び入力データに紐づく血液の組成に関する特徴を含む参照データの一対を学習データとして、複数の学習データを用いて生成される。このため、血液情報を生成する際、過去に実績のある入力データ及び出力データを踏まえた定量的な血液の組成に関する特徴を含ませることができる。これにより、血液情報を生成する際の精度向上を図ることが可能となる。

[0252] 生体情報演算装置 1 は、例えば生成した評価結果をディスプレイ等に出力する。評価結果には、ユーザの運動能力の傾向を数値化した情報が含まれ、例えば無酸素性作業閾値等のようなユーザ毎に異なる閾値が含まれる。評価結果には、例えば「有酸素性運動中」、「無酸素性運動中」等のような、ユーザの運動能力の傾向に対する評価を示す情報が含まれてもよい。

[0253] なお、生体情報演算システム 100 では、例えば図 24 (b) に示すように、センサ 5 等から評価データを取得してもよい。この場合、センサデータから評価データを取得する前処理は、センサ 5 等により実施される。

[0254] 評価データは、血液情報を生成するためのデータを示す。

[0255] データベースは、主に、評価データに対する血液情報を生成する際に用いられる。データベースには、1 つ以上の分類情報が記憶されるほか、例えば分類情報の生成に用いられた複数の学習データが記憶されてもよい。分類情報は、例えば予め取得された過去の評価データ（入力データ）と、血液の組成に関する特徴を含む参照データとの相間関係を示す関数であり、詳細は上述した実施形態と同様のため、省略する。

[0256] 参照データは、計測装置等を用いて計測された、被検者の血液の組成に関する特徴を含む。例えば被検者にセンサ 5 等を装着させて学習用センサデータを生成する際、被検者の血中二酸化炭素の特徴等を計測することで、入力データに紐づく参照データを取得することができる。この場合、血中二酸化炭素の特徴等を計測するタイミングは、学習用センサデータを生成するタイミングと同時が好ましいが、例えば 1 ~ 10 分程度前後するタイミングでもよい。

- [0257] なお、「血液の組成に関する特徴」とは、計測可能な血液内の組成物の濃度や比率等を示し、例えば血中二酸化炭素濃度の特徴、血中乳酸量、及び酸素飽和度の少なくとも何れかを示す。なお、「血中二酸化炭素の特徴」とは、血液に含まれる二酸化炭素の程度を示す。血中二酸化炭素の特徴として、例えば血中二酸化炭素分圧（ $P a C O_2$ ）の値が用いられるほか、血中二酸化炭素の溶存濃度や、血液に含まれる重炭酸・バイカーボネート（ $H C O_3^-$ ）の濃度が用いられてもよく、状況に応じて血液のpHを考慮した値が用いられてもよい。
- [0258] 血液情報は、参照データと同種のデータとして生成され、血液の組成に関する特徴を含む。血液情報は、分類情報を参照し、参照データと同一又は類似のデータとして生成される。生体情報演算システム100では、例えば任意の時系列に沿って複数の評価データを取得し、各評価データに対する血液情報を複数生成する。また、生体情報演算システム100では、例えば運動量の変化時等の任意のタイミング毎に複数の評価データを取得し、各評価データに対する血液情報を複数生成してもよい。
- [0259] 評価結果は、ユーザの運動能力の傾向を示す。評価結果は、例えば複数の血液情報を含むほか、一对の血液情報における差分値や、複数の血液情報に基づき導出した公知の閾値を含んでもよい。評価結果を出力することで、ユーザの運動能力を把握することができる。
- [0260] 本実施形態における生体情報演算装置1の取得部11は、例えば入力部108等を介してユーザが入力した、ユーザの特徴、運動内容、競技種目等のような評価対象の情報を取得し、評価データに含ませてもよい。評価対象の情報は、例えば血液情報、又は評価結果を生成する際に利用してもよい。
- [0261] 算出部12は、データベースを参照し、評価データに対する血液情報を生成する。算出部12は、例えばデータベースに記憶された分類情報を参照し、評価データに対する血中二酸化炭素分圧等の値を算出し、血液情報として生成する。算出部12は、それぞれ異なる評価データに対する血液情報を、複数生成する。

- [0262] 評価部 13 は、それぞれ異なる評価データから生成された複数の血液情報に基づき、評価結果を生成する。評価部 13 は、例えば保存部 104 等に予め記憶された表示用のフォーマットを用いて、運動能力の傾向についてユーザが理解できる形式に変換した評価結果を生成する。
- [0263] 評価部 13 は、例えば図 25 (a) に示すように、2つの血液情報 (図 25 (a) では一例として血中二酸化炭素分圧を示す) の差を、測定時間の差で割った値を、嫌気性代謝の度合いとして算出し、嫌気性代謝の度合いを含む評価結果を生成する。この場合、ユーザ毎に異なる無酸素性運動の条件を容易に把握することができる。例えば評価部 13 は、予め保存部 104 等に記憶された基準値を参照し、嫌気性代謝の度合いが基準値よりも小さい場合、有酸素性運動の状態である旨を示す評価結果を生成し、嫌気性代謝の度合いが基準値以上の場合、無酸素性運動の状態である旨を示す評価結果を生成してもよい。
- [0264] 評価部 13 は、例えば評価用データベースを参照して、複数の血液情報から評価結果を生成してもよい。
- [0265] 評価用データベースには、例えば上述したデータベースと同様に、複数の血液情報に対する評価結果を生成するための評価用分類情報が記憶されてもよい。評価用データベースには、1つ以上の評価用分類情報が記憶されるほか、例えば評価用分類情報の生成に用いられた複数の評価用学習データが記憶されてもよい。
- [0266] 評価用分類情報は、例えば予め取得された過去の複数の血液情報 (評価用入力データ) と、評価用入力データに紐づく評価用参照データとの相関関係を示す関数である。評価用参照データは、ユーザの運動能力の傾向を示す。評価用分類情報は、評価用入力データと、評価用参照データとを一对の評価用学習データとして、複数の評価用学習データを用いて生成される。
- [0267] 評価用データベースには、例えば図 25 (b) に示すように、運動強度と、血液情報 (図 25 (b) では一例として血中二酸化炭素分圧を示す) との関係を示す関数 A1、A2 が記憶されてもよい。関数 A1 は、例えば有酸素

性運動時における運動強度と、血中二酸化炭素分圧との関係を示し、関数A 2は、例えば無酸素性運動時における運動強度と、血中二酸化炭素分圧との関係を示す。なお、関数A 1、A 2は、複数の関数を有してもよい。

[0268] 例えば算出部1 2において、複数の血液情報として第1分圧P 1、及び第2分圧P 2を生成した場合、評価部1 3は、関数A 1を参照し、各分圧P 1、P 2に基づき、「有酸素運動中」であることを示す評価結果を生成する。

[0269] 例えば算出部1 2において、複数の血液情報として第3分圧P 3、及び第4分圧P 4を生成した場合、評価部1 3は、関数A 2を参照し、各分圧P 3、P 4に基づき、「無酸素運動中」であることを示す評価結果を生成する。

[0270] 例えば算出部1 2において、複数の血液情報として第1分圧P 1、第2分圧P 2、第3分圧P 3、及び第4分圧P 4を生成した場合、評価部1 3は、関数A 1、A 2を参照し、各分圧P 1、P 2、P 3、P 4に基づき、無酸素性作業閾値A T 1を示す評価結果を生成する。

[0271] (第1 1実施形態：生体情報演算システム1 0 0の動作)

次に、本実施形態における生体情報演算システム1 0 0の動作の一例について説明する。なお、上述した実施形態と同様の内容については、説明を省略する。

[0272] 算出ステップS 1 2 0は、データベースを参照し、評価データに対する血液の組成に関する特徴（例えば血中二酸化炭素分圧の値）を含む血液情報を生成する。例えば算出部1 2は、分類情報を参照し、評価データに対する血中二酸化炭素分圧の値を算出する。算出部1 2は、算出した値を含む血液情報を算出する。算出部1 2は、例えば記憶部1 5を介して、生成した血液情報を保存部1 0 4に保存する。なお、血中二酸化炭素分圧の値等として、特定の値を示すほか、例えば誤差範囲（例えば「〇〇±2 mmHg」等）が算出されてもよい。

[0273] 評価ステップS 1 3 0は、それぞれ異なる評価データから生成された複数の血液情報に基づき、評価結果を生成する。例えば評価部1 3は、算出部1 2により生成された複数の血液情報を取得する。評価部1 3は、予め設定さ

れた関数等を用いて、複数の血液情報から評価結果を生成するほか、例えば上述した評価用データベースを参照して、評価結果を生成してもよい。

[0274] 例えば血液情報が血中二酸化炭素分圧の値を示す場合、評価部13は、複数の血液情報における時系列変化から、嫌気性代謝の度合いを含む評価結果を生成することができる。このため、ユーザ毎に異なる無酸素性運動の条件を容易に把握することができる。

[0275] ここで、ユーザの運動能力を評価する際、無酸素性作業閾値（AT：Anaerobic Threshold）、心拍閾値（HRT：Heart Rate Threshold）や、乳酸性作業閾値（LT：Lactate Threshold）等の閾値が用いられる場合がある。このような閾値は、脈拍数を用いて推定できることが知られている。しかしながら、脈拍数を用いた評価方法では、個人の特徴、運動内容、競技種目等のような評価対象の影響により、大まかな傾向を把握できる程度に留まり、上記閾値の適切な推定が難しい。このため、従来技術では、ユーザの運動能力に関する情報を、高精度に生成できない懸念が挙げられる。

[0276] これに対し、本実施形態によれば、算出部12は、評価データに対する血液の組成に関する特徴を含む血液情報を生成する。評価部13は、それぞれ異なる評価データから生成された複数の血液情報に基づき、ユーザの運動能力の傾向を示した評価結果を生成する。このため、個人の特徴、運動内容、競技種目のような評価対象の影響に関わらず、血液の組成に関する特徴から、評価結果を直接生成することができる。これにより、ユーザの運動能力に関する情報を、高精度に生成することが可能となる。

[0277] また、本実施形態によれば、算出部12は、データベースを参照し、評価データに対する血液情報を生成する。また、データベースには、複数の学習データを用いて算出された分類情報が記憶される。このため、血液情報を生成する際、過去に実績のあるデータを踏まえた定量的な血液の組成に関する特徴を含ませることができる。これにより、血液情報を生成する際の精度向上を図ることが可能となる。

[0278] また、本実施形態によれば、評価部13は、複数の血液情報における時系

列変化から、嫌気性代謝の度合いを含む評価結果を生成する。このため、ユーザ毎に異なる無酸素性運動の条件を容易に把握することができる。これにより、ユーザの運動能力に応じた運動条件を維持させることが可能となる。

[0279] また、本実施形態によれば、分類情報は、入力データを説明変数とし、参照データを目的変数としたPLS回帰分析を用いて得られた検量モデルである。このため、機械学習等を用いて分類情報を算出する場合に比べて、学習データの数を大幅に減らすことができるとともに、検量モデルの更新を容易に実施することができる。これにより、生体情報演算システム100の構築及び更新の容易化を図ることが可能となる。

[0280] (第12実施形態：生体情報演算システム100)

次に、第12実施形態における生体情報演算システム100の一例について説明する。上述した実施形態と、第12実施形態との違いは、付加情報を用いる点、及び、集計ステップS150を備える点である。なお、上述した実施形態と同様の内容については、説明を省略する。

[0281] 本実施形態における生体情報演算システム100では、例えば上述した評価ステップS130のあとに、集計ステップS150が実施され、集計ステップS150のあとに出力ステップS140が実施される。

[0282] 集計ステップS150は、例えば上述した実施形態と同様に、付加情報を取得し、評価結果及び付加情報に基づき、総合評価結果を生成する。集計ステップS150は、例えば評価部13に含まれる集計部によって実行することができる。

[0283] 総合評価結果は、ユーザの運動能力を評価した結果を示す。総合評価結果として、「運動能力が高い」、「運動能力が低い」等のユーザ毎の運動能力の度合いを示す文字列が用いられるほか、例えば任意の基準値との差分や、偏差値等の数値が用いられてもよい。

[0284] 集計ステップS150において、例えば集計部は、予め設定された閾値を参照し、評価結果及び付加情報を閾値と比較した結果を総合評価結果として生成する。例えば、集計部は、評価結果及び付加情報が閾値よりも低い場合

、運動能力が高いことを示す総合評価結果を生成し、評価結果及び付加情報が閾値よりも高い場合、運動能力が低いことを示す総合評価結果を生成する。

[0285] 本実施形態によれば、上述した実施形態の効果に加え、集計部は、評価結果及び付加情報に基づき、ユーザの運動能力を評価した総合評価結果を生成する。このため、評価結果に加えて、ユーザの特徴を考慮した総合的な評価を実現することができる。これにより、ユーザの運動能力に関する情報を、さらに高精度に生成することが可能となる。

[0286] 上述した各実施形態によれば、算出ステップS120は、評価データに対するユーザの血液情報を算出する。評価ステップS130は、血液情報に基づき、ユーザの状態に関する評価結果を生成する。これにより、ユーザの状態に関する定量的な評価を実現することが可能となる。

[0287] なお、上述した各実施形態では、血中二酸化炭素の特徴として、主に血中二酸化炭素分圧の値が用いられる場合について説明したが、血中二酸化炭素の溶存濃度、血液に含まれる重炭酸・バイカーボネートの濃度、及び血液のpHの少なくとも何れかが用いられる場合についても同様のため、説明を省略する。特に、血中二酸化炭素の特徴として血中二酸化炭素分圧の値が用いられる場合、他の値に比べて参照データを収集し易い傾向がある。このため、分類情報を生成する際に費やす時間及び費用の大幅な削減を実現することが可能となる。

[0288] また、上述した各実施形態は、用途に応じて任意に組み合わせて実施してもよい。

[0289] 本発明の実施形態を説明したが、この実施形態は例として提示したものであり、発明の範囲を限定することは意図していない。このような新規な実施形態は、その他の様々な形態で実施されることが可能であり、発明の要旨を逸脱しない範囲で、種々の省略、置き換え、変更を行うことができる。この実施形態やその変形は、発明の範囲や要旨に含まれるとともに、特許請求の範囲に記載された発明とその均等の範囲に含まれる。

## 符号の説明

|        |     |              |
|--------|-----|--------------|
| [0290] | 1   | : 生体情報演算装置   |
|        | 3   | : 通信網        |
|        | 4   | : サーバ        |
|        | 5   | : センサ        |
|        | 6   | : 検出部        |
|        | 10  | : 筐体         |
|        | 11  | : 取得部        |
|        | 12  | : 算出部        |
|        | 13  | : 評価部        |
|        | 14  | : 出力部        |
|        | 15  | : 記憶部        |
|        | 16  | : 学習部        |
|        | 50  | : 取得部        |
|        | 51  | : 通信 I / F   |
|        | 52  | : メモリ        |
|        | 53  | : 司令部        |
|        | 54  | : 内部バス       |
|        | 55  | : リストバンド     |
|        | 100 | : 生体情報演算システム |
|        | 101 | : CPU        |
|        | 102 | : ROM        |
|        | 103 | : RAM        |
|        | 104 | : 保存部        |
|        | 105 | : I / F      |
|        | 106 | : I / F      |
|        | 107 | : I / F      |
|        | 108 | : 入力部        |



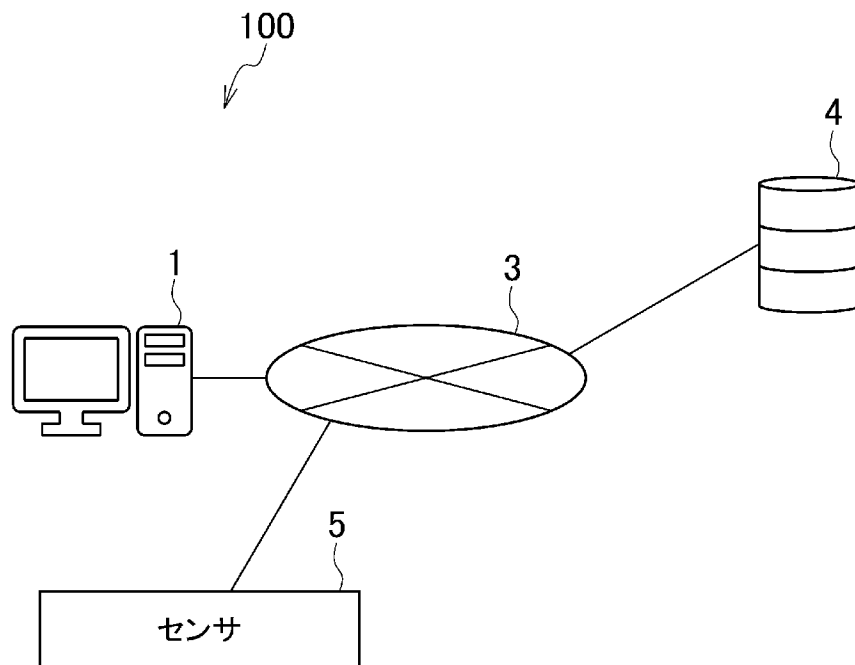
- 1 0 9 : 表示部
- 1 1 0 : 内部バス
- S 1 1 0 : 取得ステップ
- S 1 2 0 : 算出ステップ
- S 1 3 0 : 評価ステップ
- S 1 4 0 : 出力ステップ

## 請求の範囲

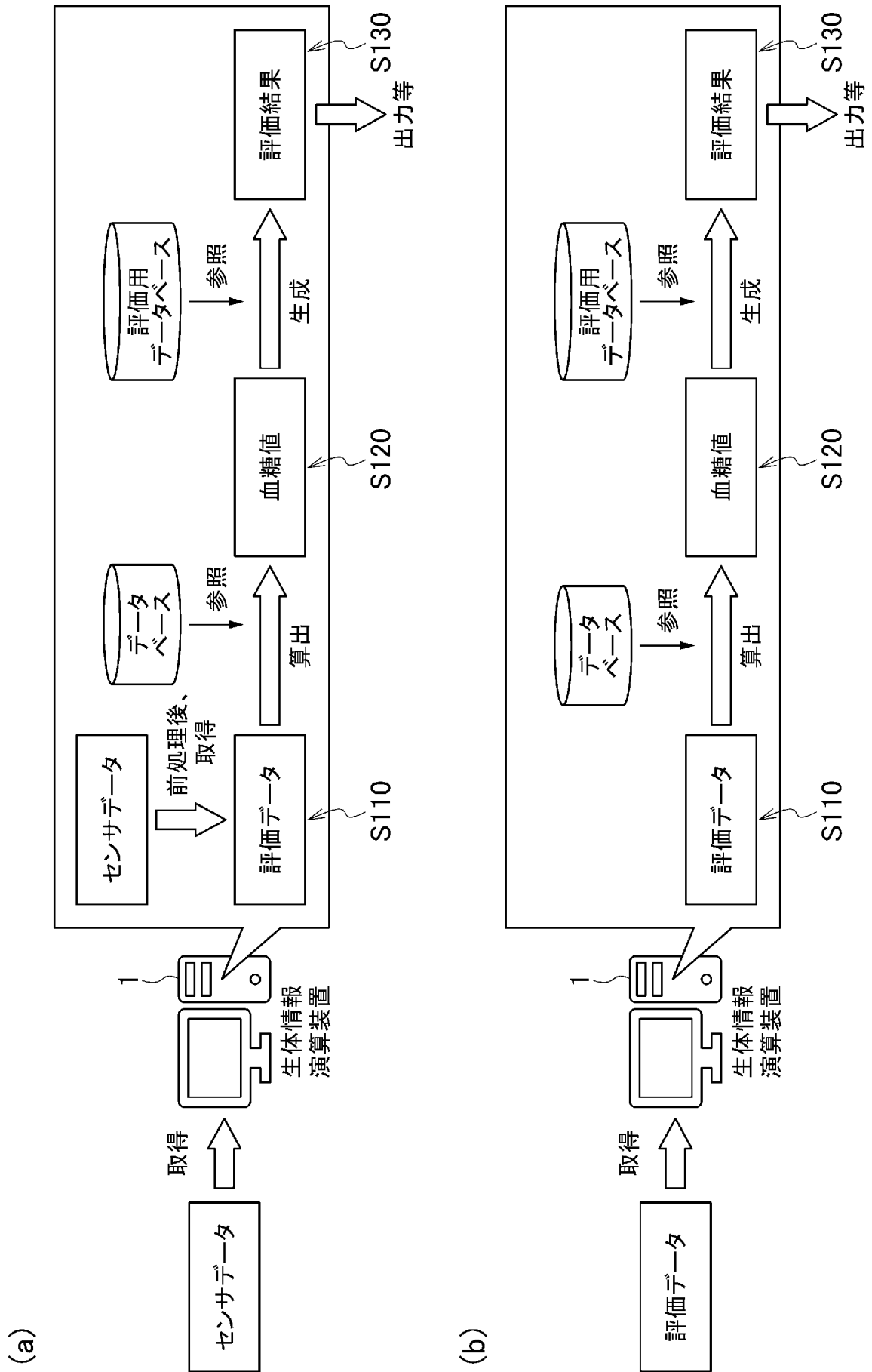
- [請求項1] ユーザの血液に関する血液情報を算出する生体情報演算システムであって、  
前記ユーザの脈波に基づく評価データを取得する取得手段と、  
予め取得された学習用脈波に基づく入力データ、及び前記入力データに紐づく前記血液情報を含む参照データの一对を学習データとして、複数の前記学習データを用いて生成された分類情報が記憶されたデータベースと、  
前記データベースを参照し、前記評価データに対する前記血液情報を算出する算出手段と、  
前記血液情報に基づき、前記ユーザの状態に関する評価結果を生成する評価手段と、  
を備えること  
を特徴とする生体情報演算システム。
- [請求項2] 前記血液情報は、血糖値を含み、  
前記評価手段は、それぞれ異なる前記評価データから算出された複数の前記ユーザの血糖値に基づき、前記ユーザの血糖値の変化を示す血糖スパイク情報を含む前記評価結果を生成すること  
を特徴とする請求項1記載の生体情報演算システム。
- [請求項3] 前記血液情報は、血糖値を含み、  
前記評価手段は、前記評価データ、及び前記評価データから算出された血糖値に基づき、前記評価結果を生成すること  
を特徴とする請求項1記載の生体情報演算システム。
- [請求項4] 前記血液情報は、前記血液の組成に関する特徴を含み、  
前記評価手段は、それぞれ異なる前記評価データから算出された複数の前記血液の組成に関する特徴に基づき、前記ユーザの運動能力の傾向を示した前記評価結果を生成すること  
を特徴する請求項1記載の生体情報演算システム。

- [請求項5] 前記ユーザの生体情報に関する特徴を示す付加情報を取得し、前記評価結果及び前記付加情報に基づき、前記ユーザの健康状態を評価した総合評価結果を生成する集計手段を備えることを特徴とする請求項1記載の生体情報演算システム。
- [請求項6] 前記取得手段は、前記脈波に基づき、前記評価データとは異なる特徴を示す付加データを取得することを含み、  
前記算出手段は、前記データベースを参照し、前記付加データに対する前記ユーザの生体情報に関する特徴を示す付加情報を生成することを含むことを特徴とする請求項1記載の生体情報演算システム。
- [請求項7] 前記評価手段は、  
前記ユーザの生体情報に関する特徴を示す付加情報を取得し、  
複数の前記特徴データ及び前記付加情報に基づき、前記評価結果を生成することを含むことを特徴とする請求項1記載の生体情報演算システム。
- [請求項8] 前記取得手段は、前記脈波に基づき、前記評価データとは異なる予備評価データを取得することを含み、  
前記分類情報は、それぞれ異なる前記学習データを用いて算出された複数の属性別分類情報を含み、  
前記算出手段は、  
前記予備評価データを参照し、複数の前記属性別分類情報のうち第1分類情報を選択する選択手段と、  
前記第1分類情報を参照し、前記評価データに対する前記血液情報を算出する属性別算出手段とを含むことを特徴とする請求項1記載の生体情報演算システム。

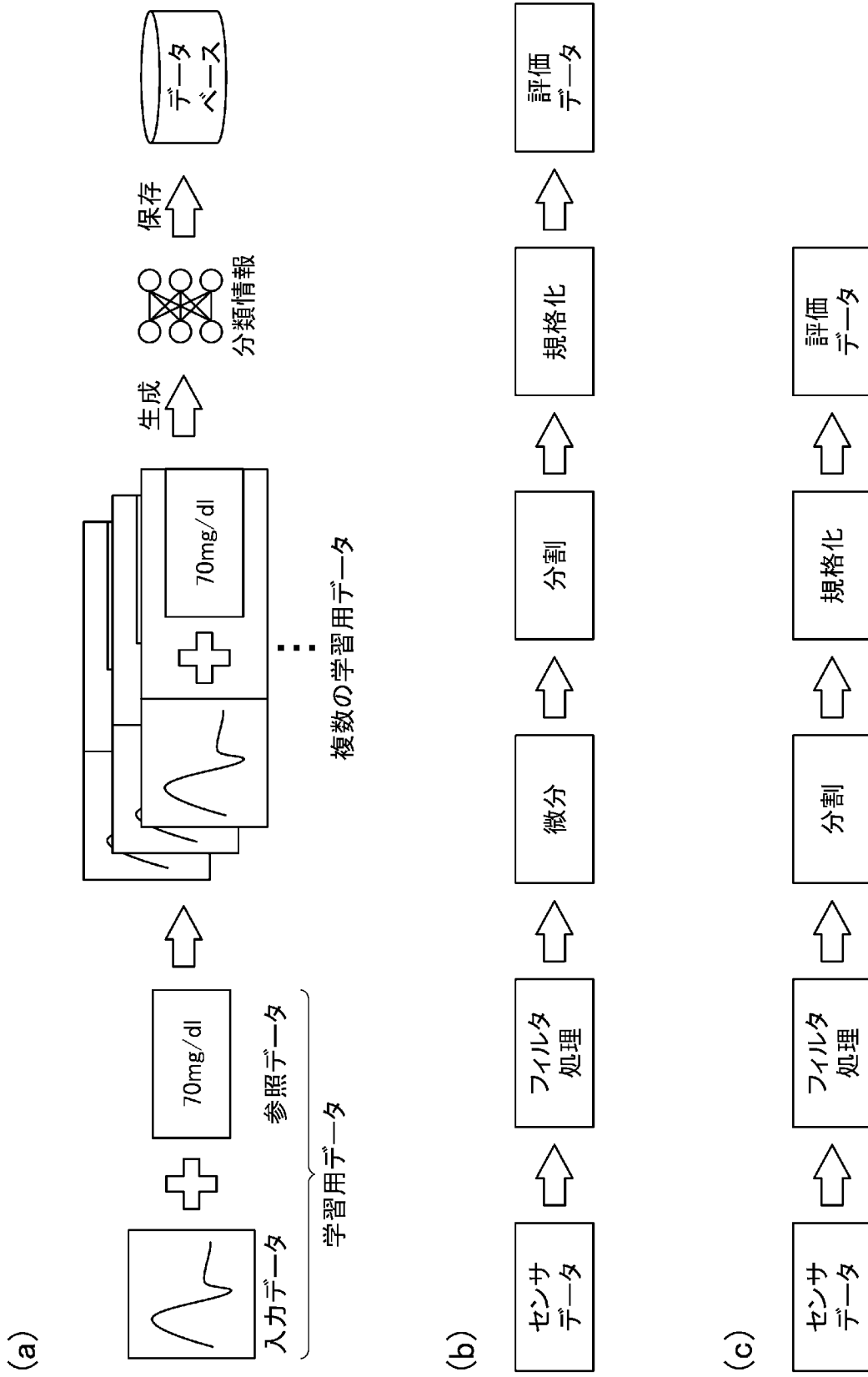
[図1]



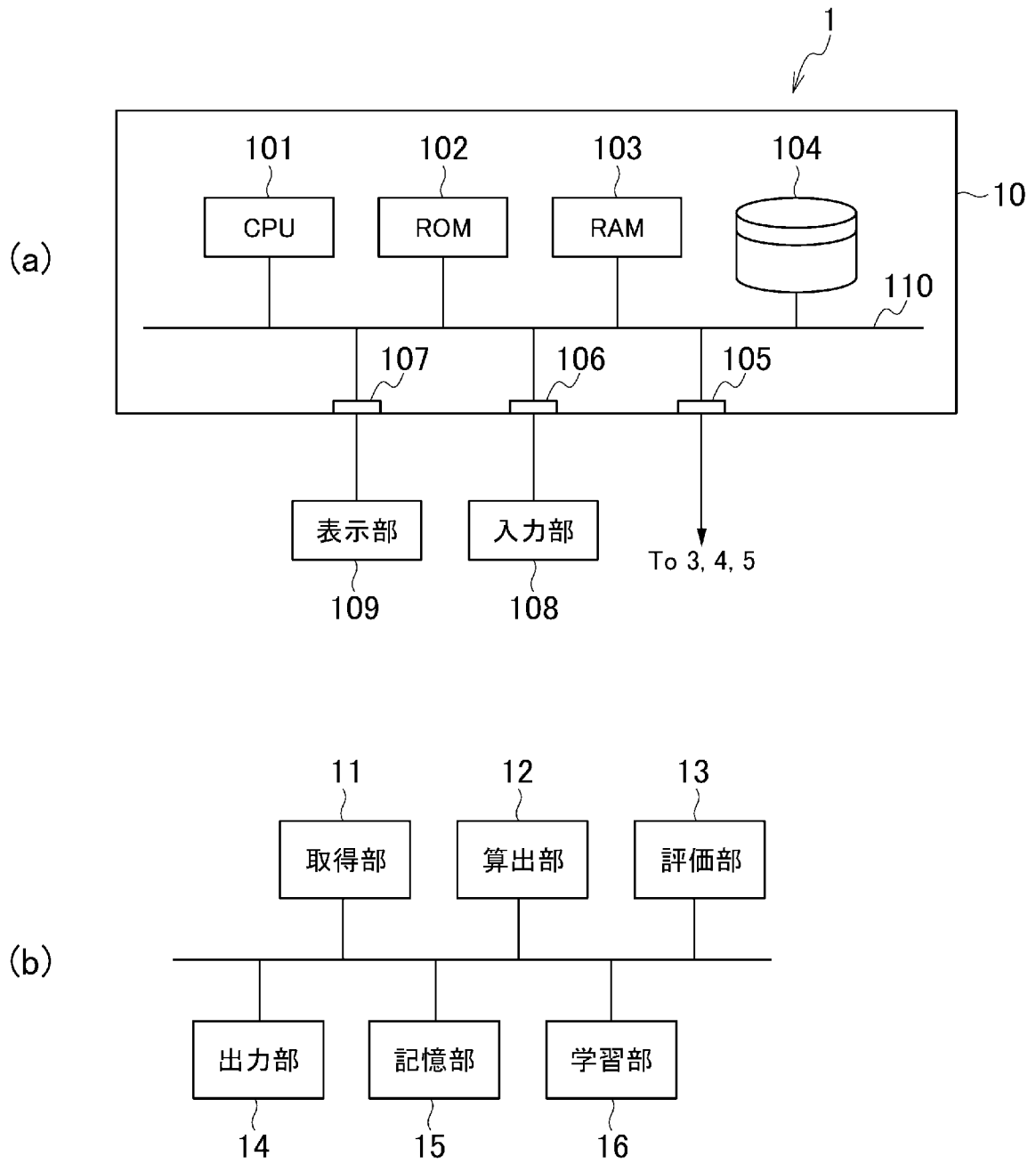
[図2]



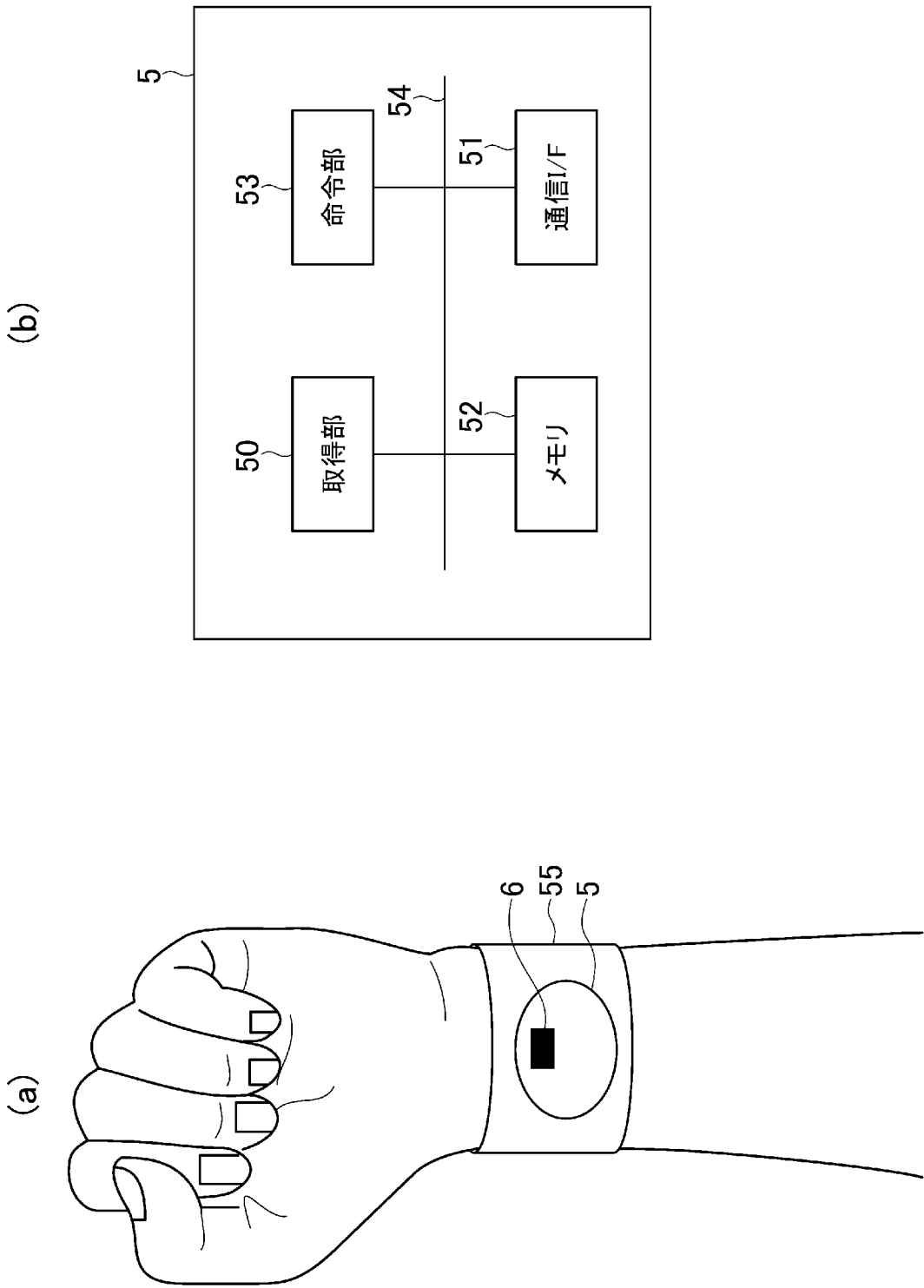
[図3]



[図4]

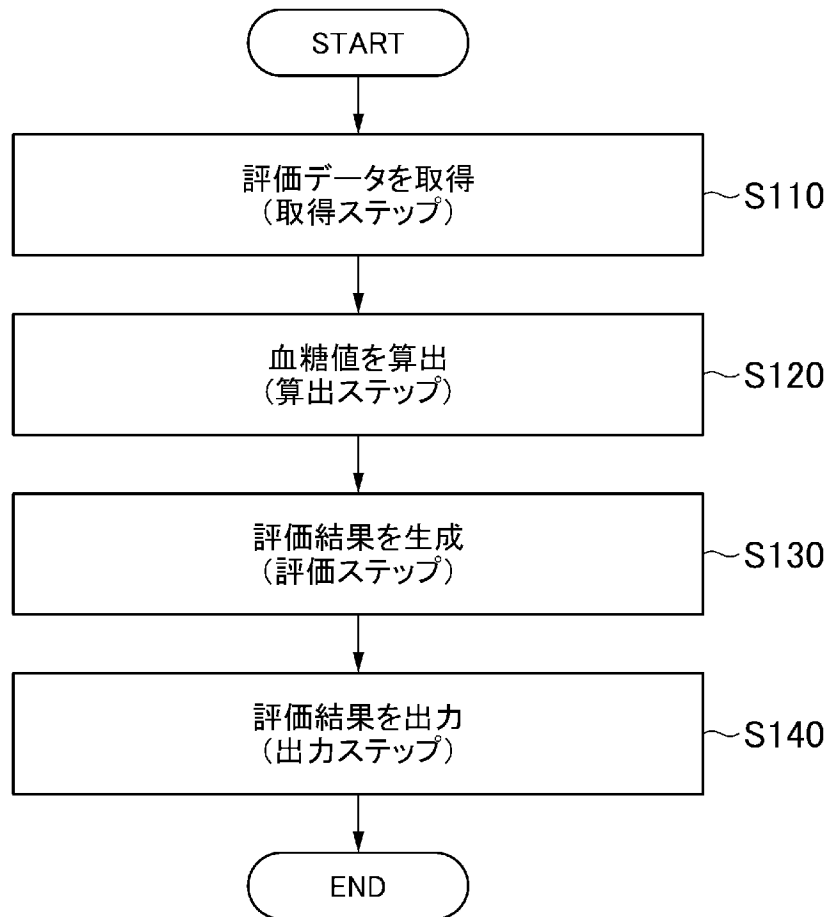


[図5]

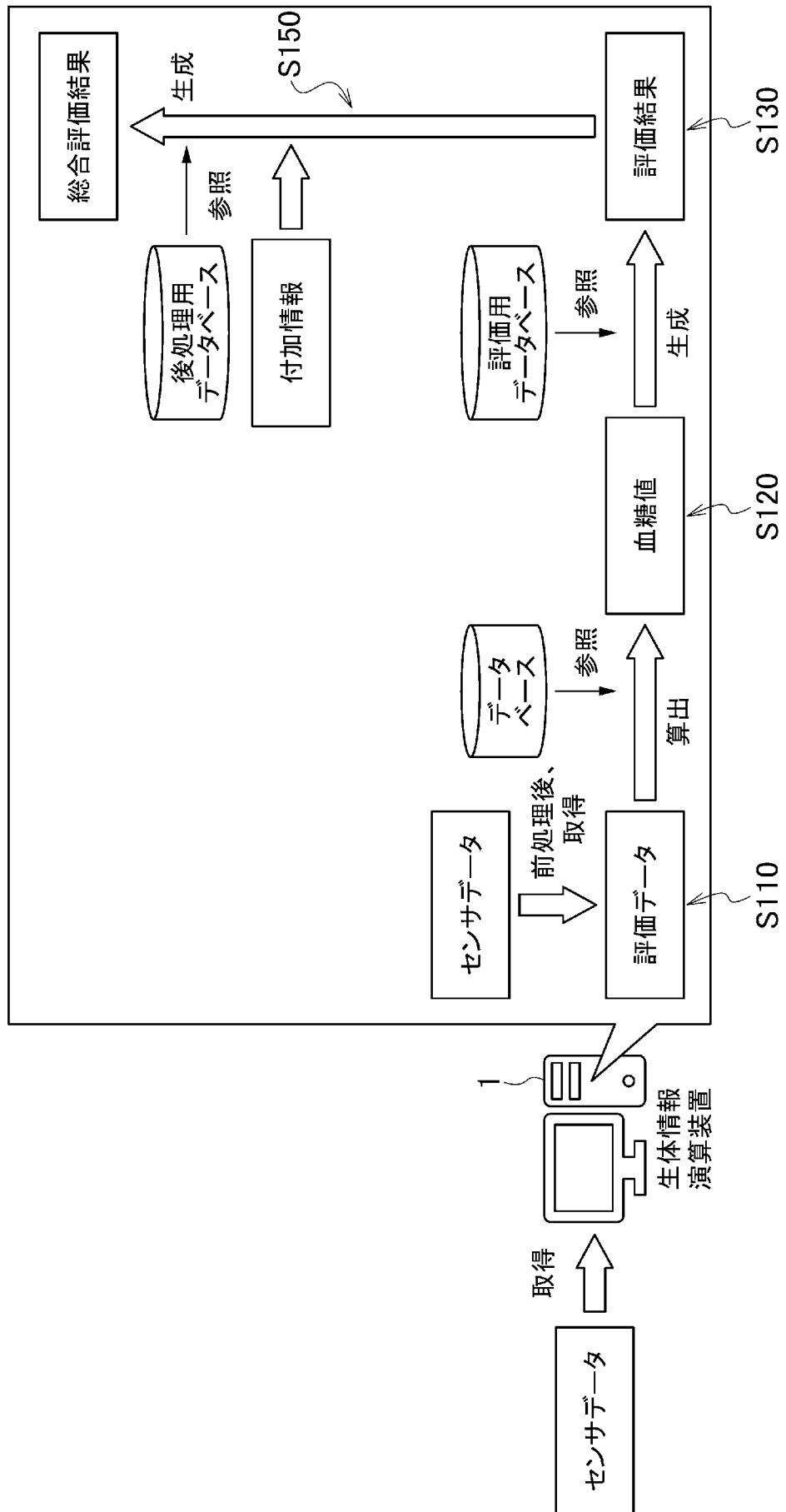




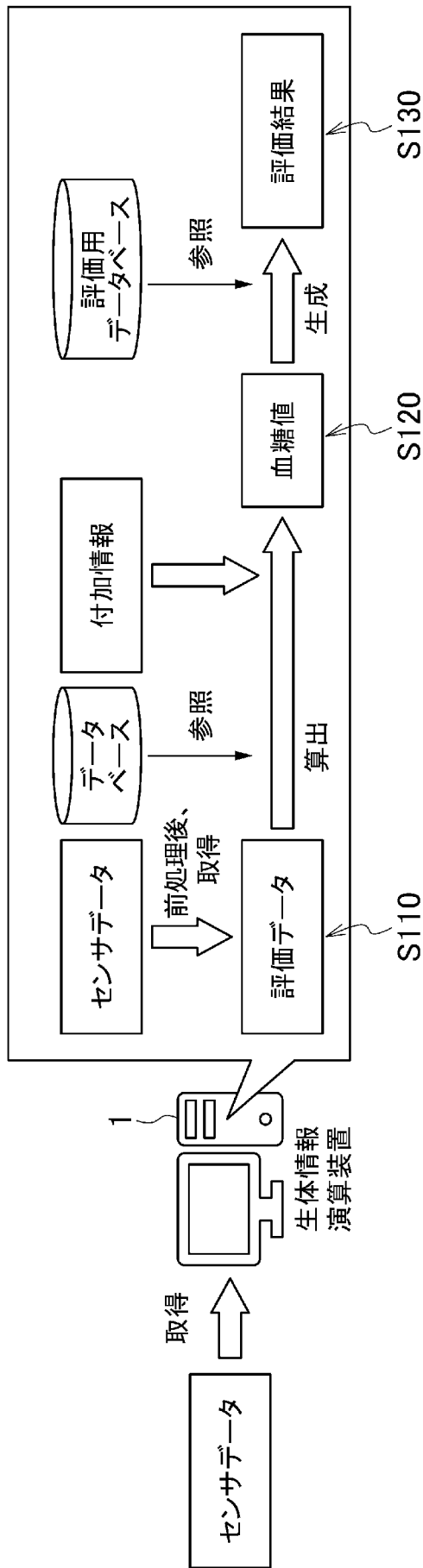
[図6]



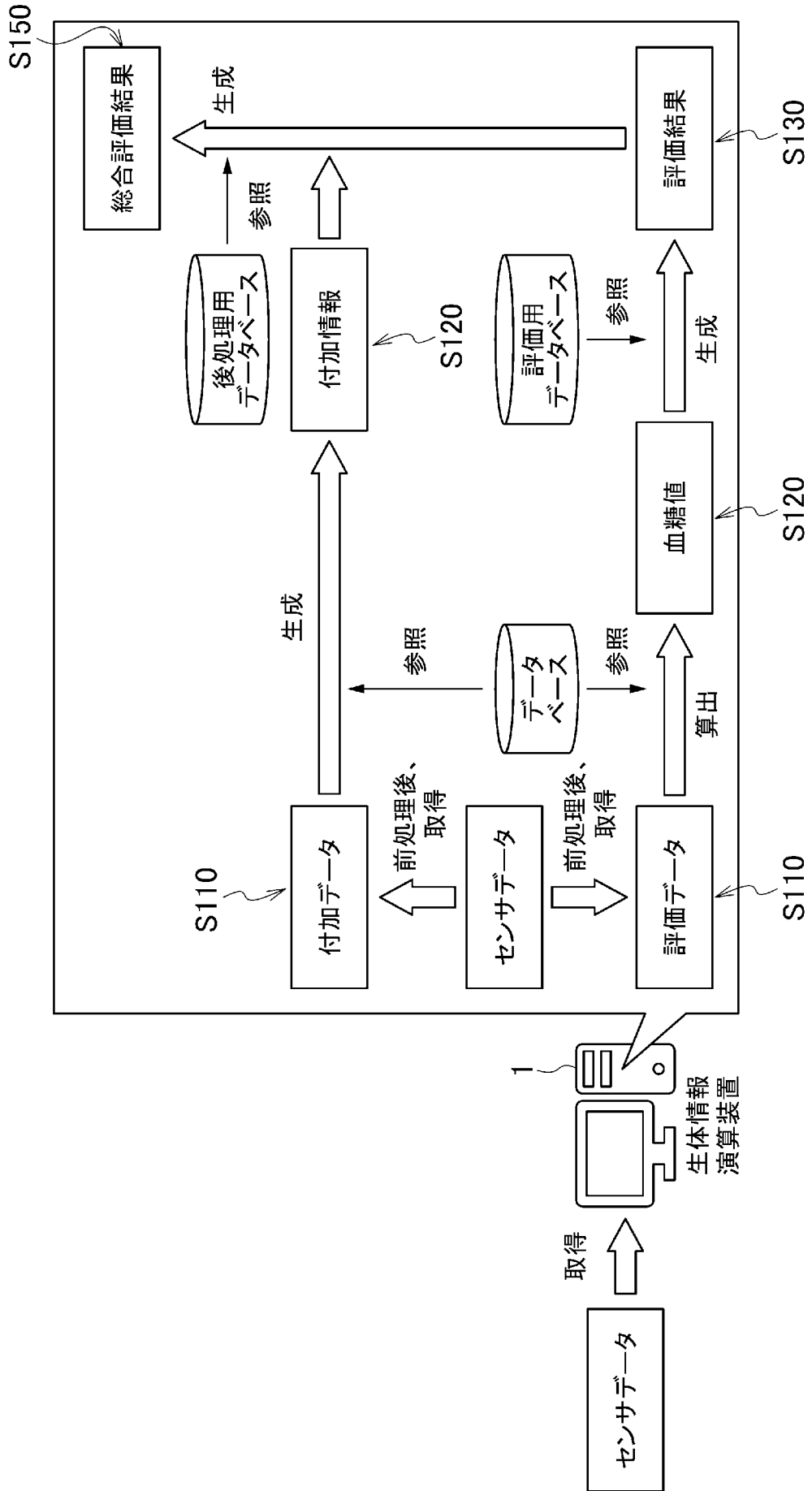
[図7]



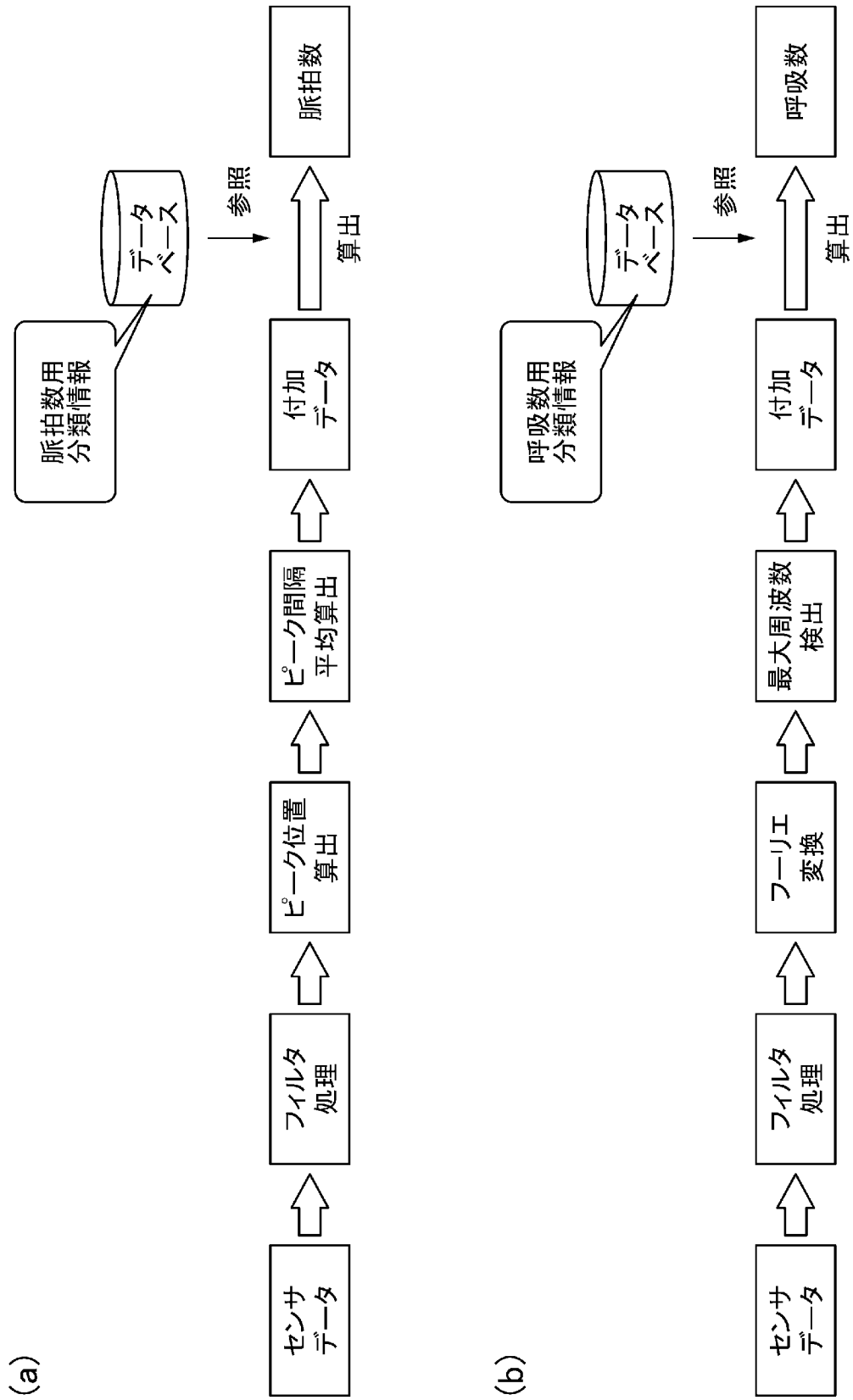
[図8]



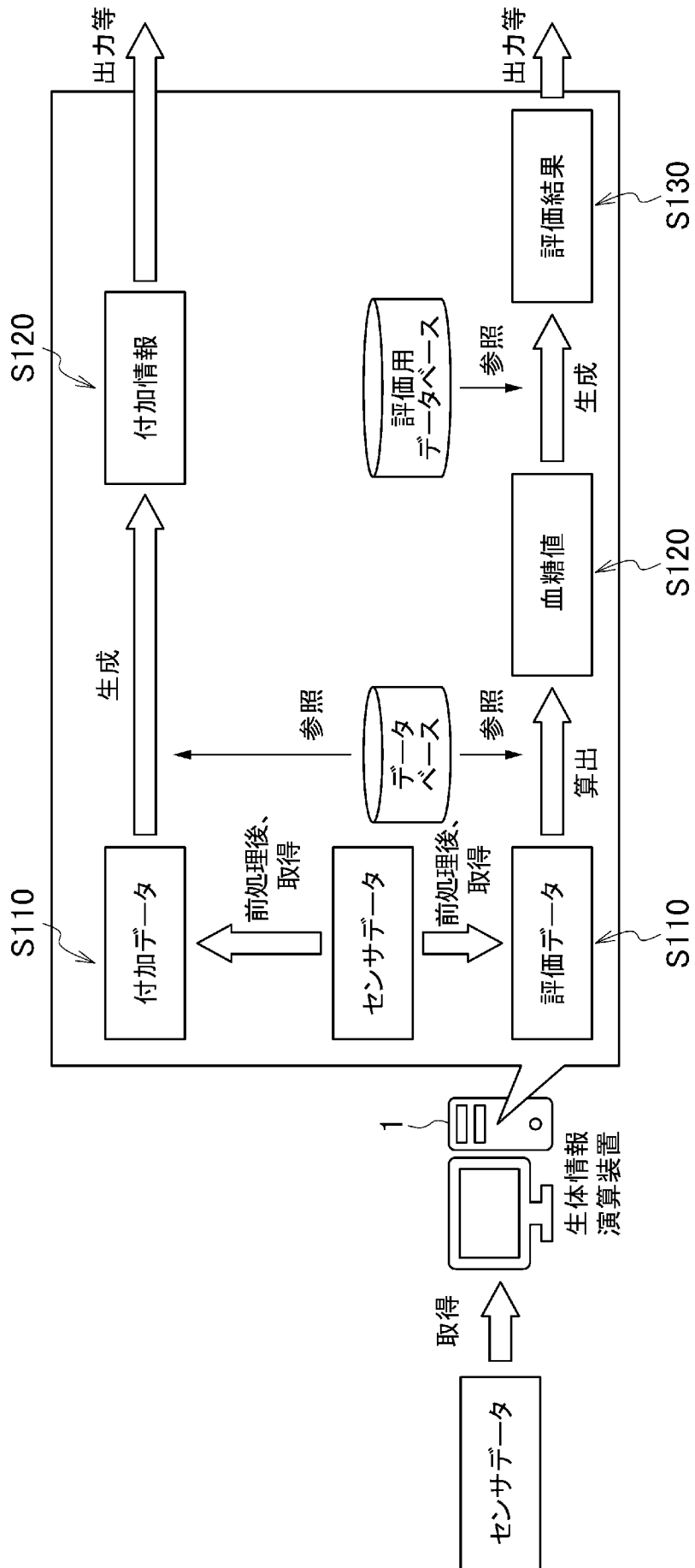
[図9]



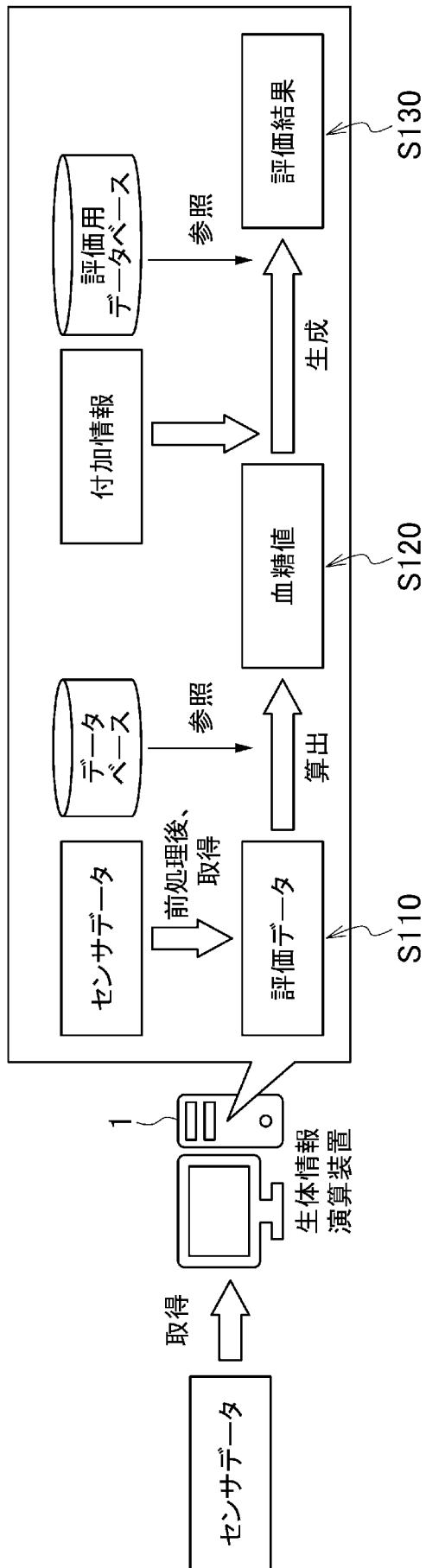
[図10]



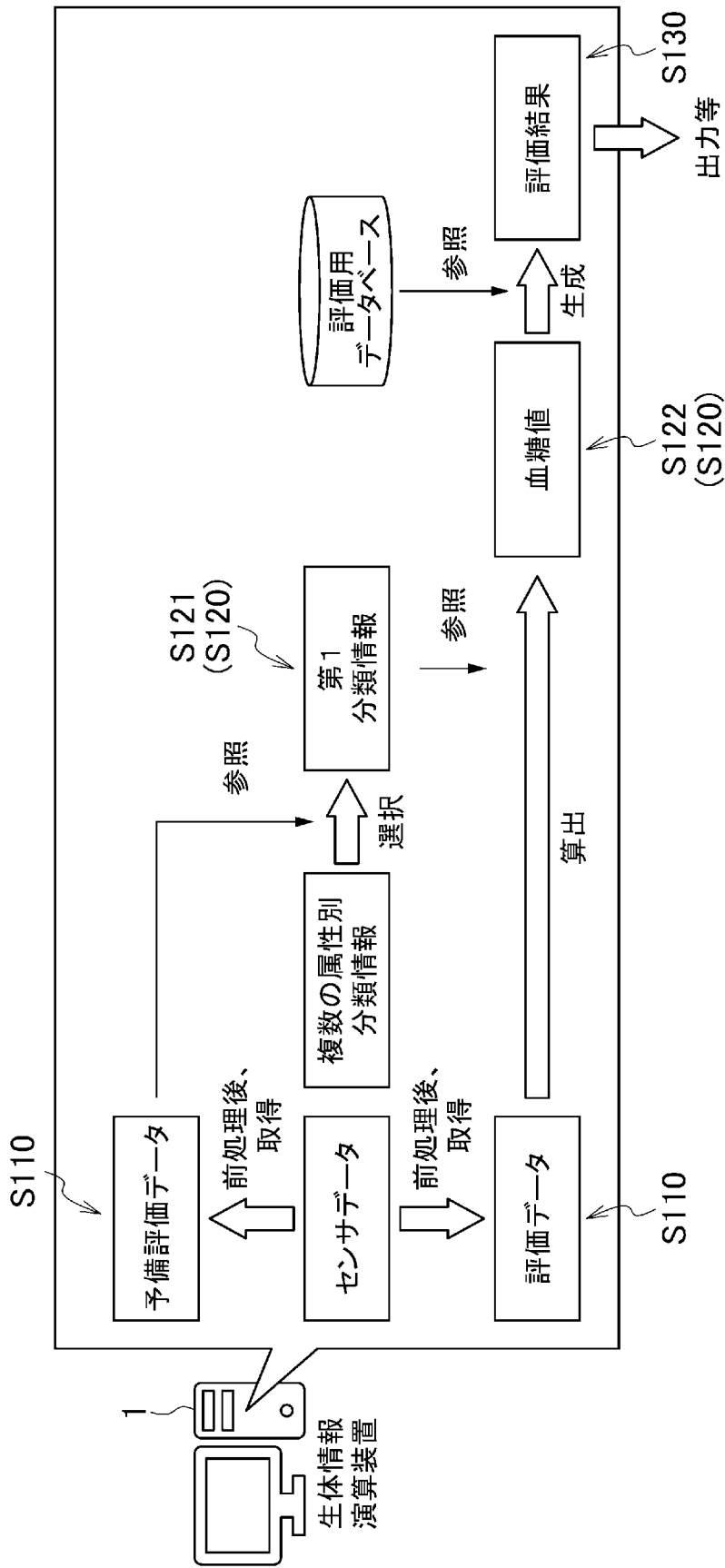
[図11]



[図12]

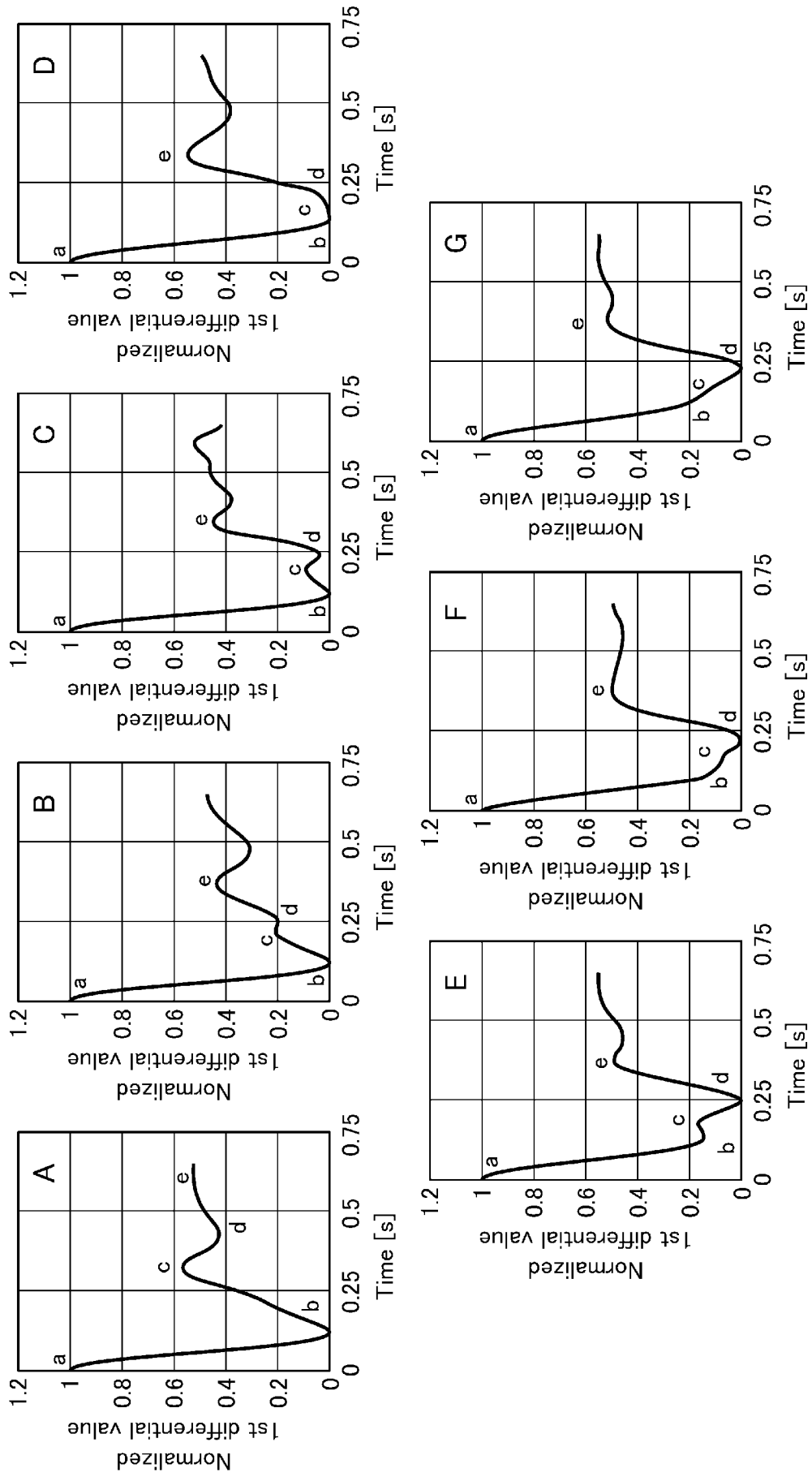


[図13]



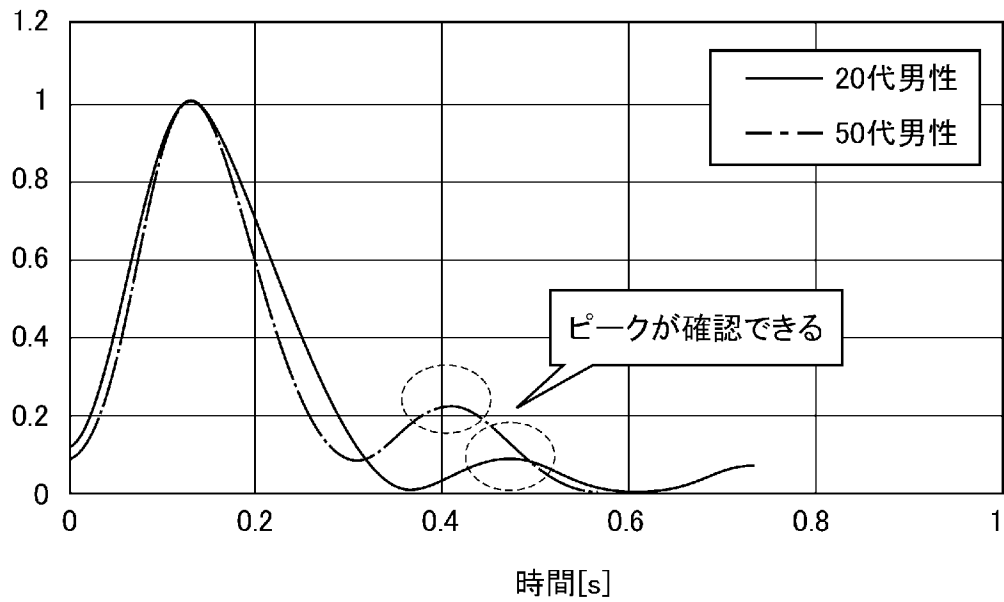


[圖14]

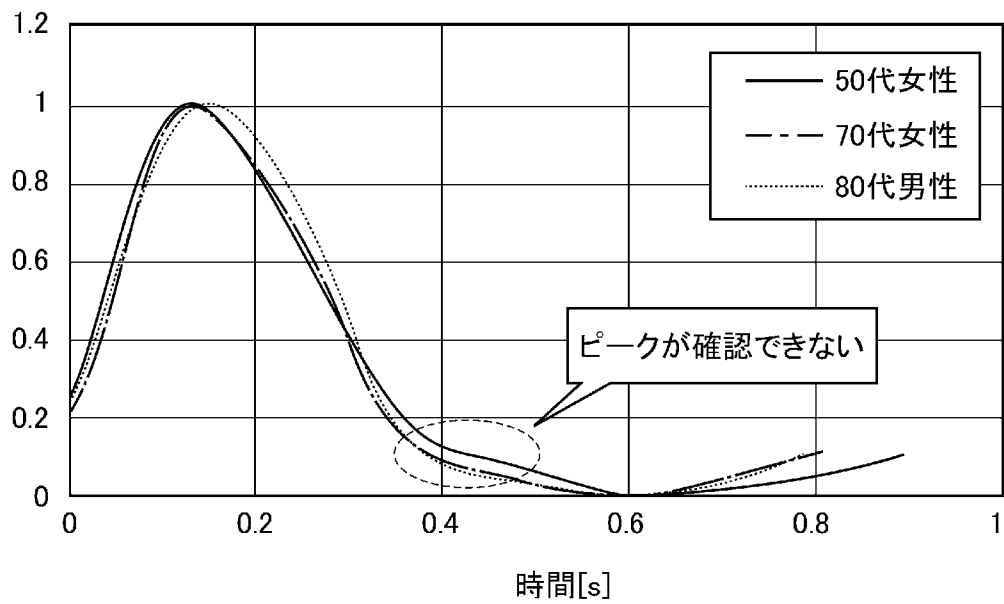


[図15]

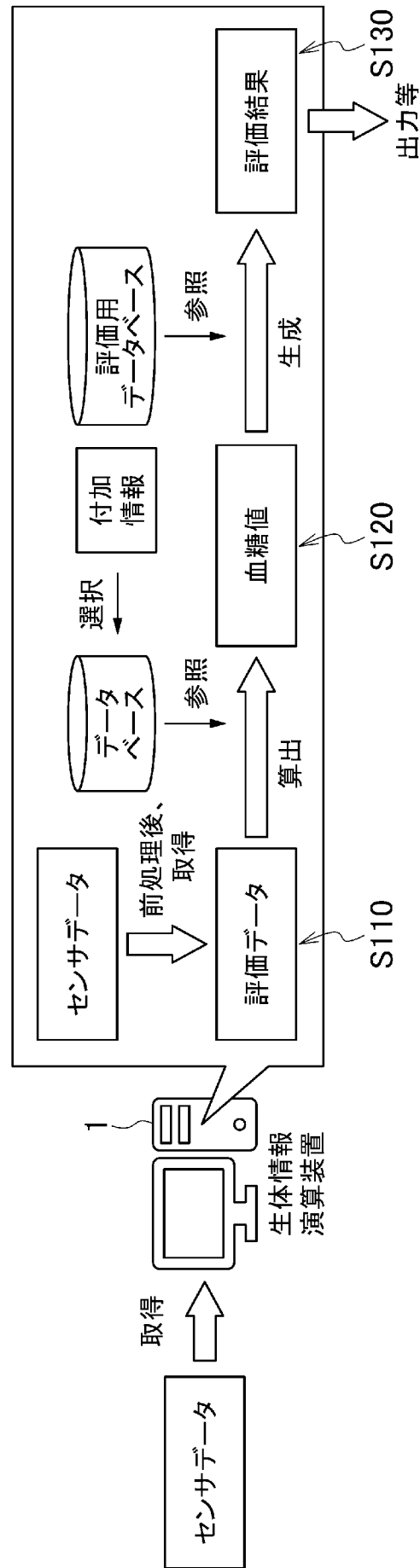
グループ1



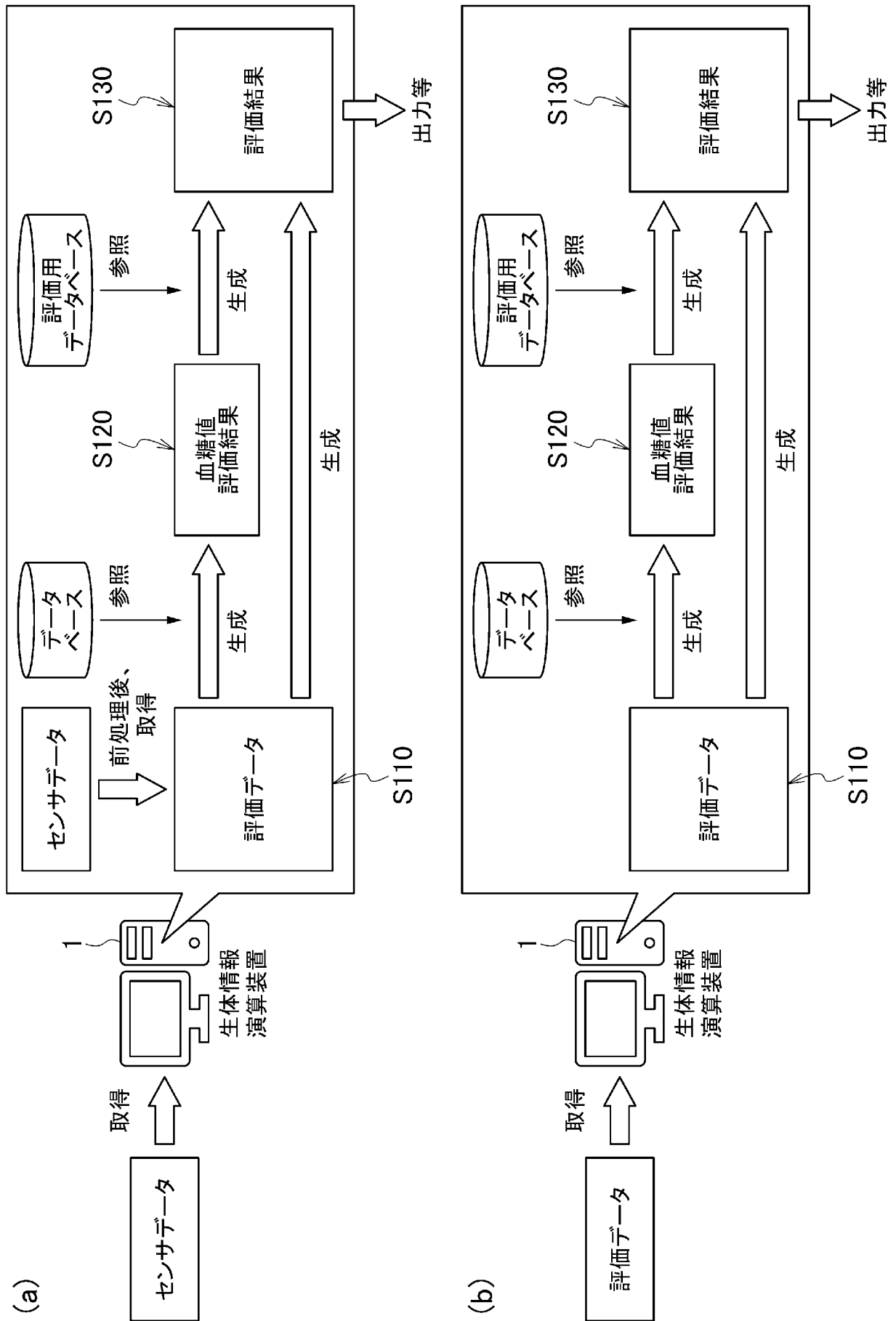
グループ2



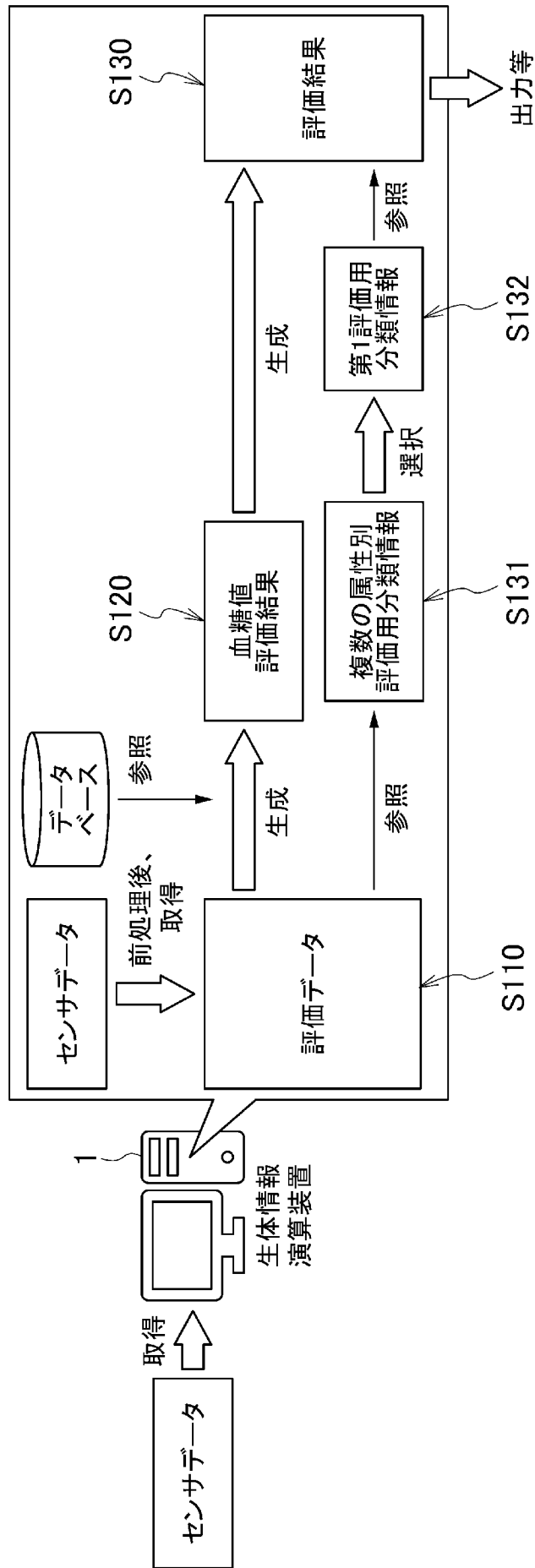
[図16]



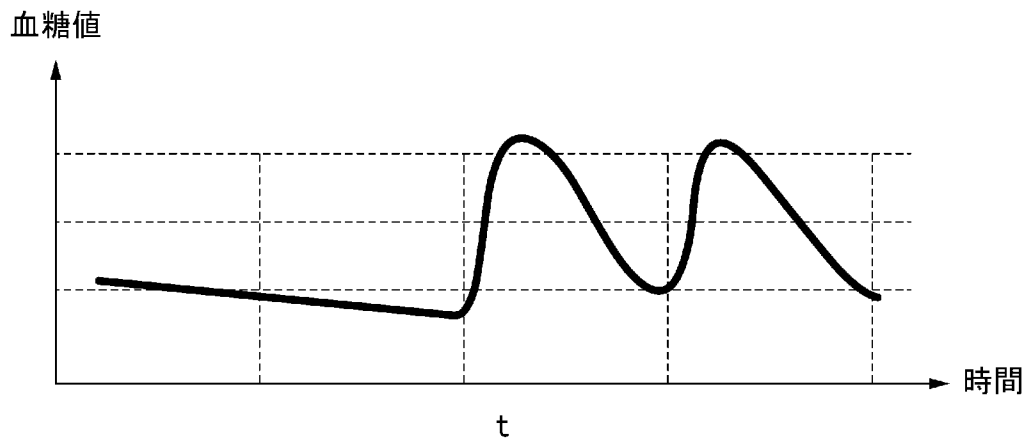
[図17]



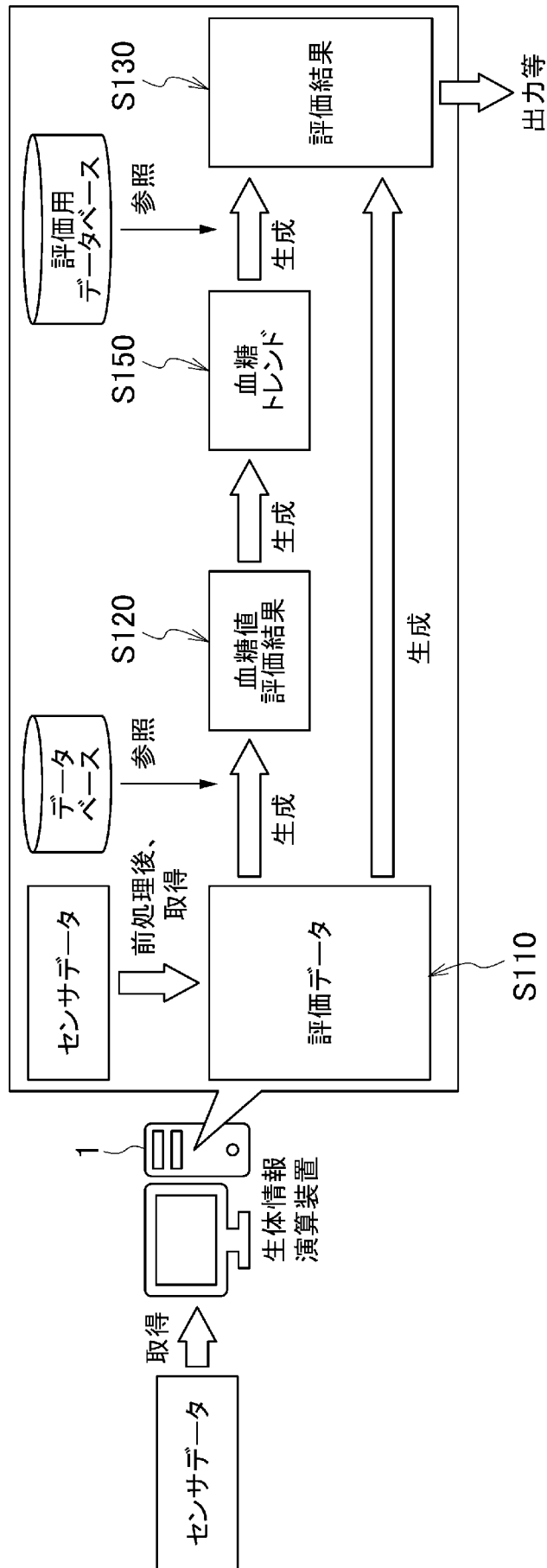
[図18]



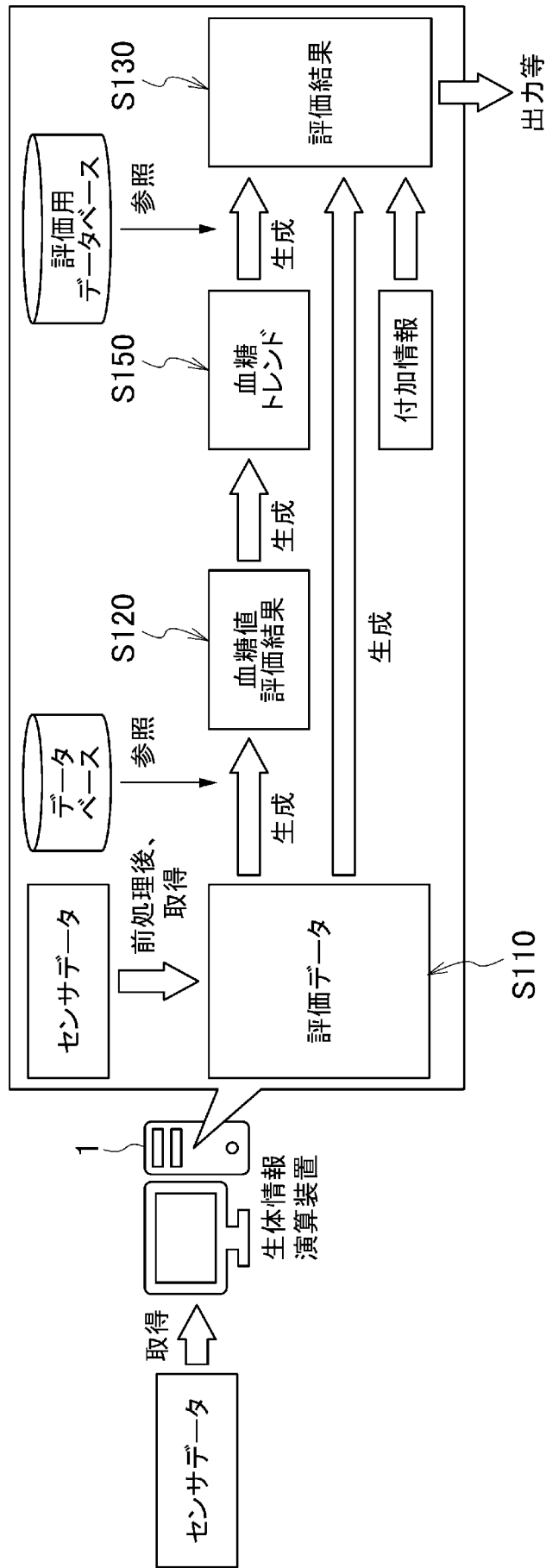
[図19]



[図20]

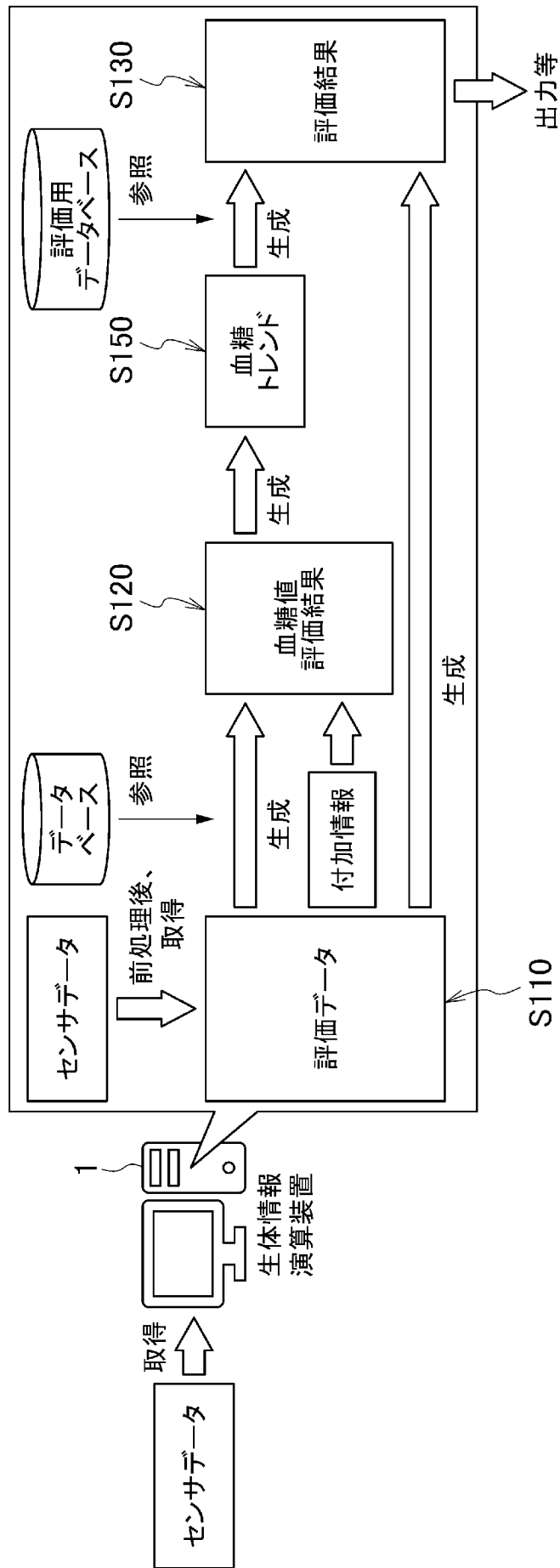


[図21]

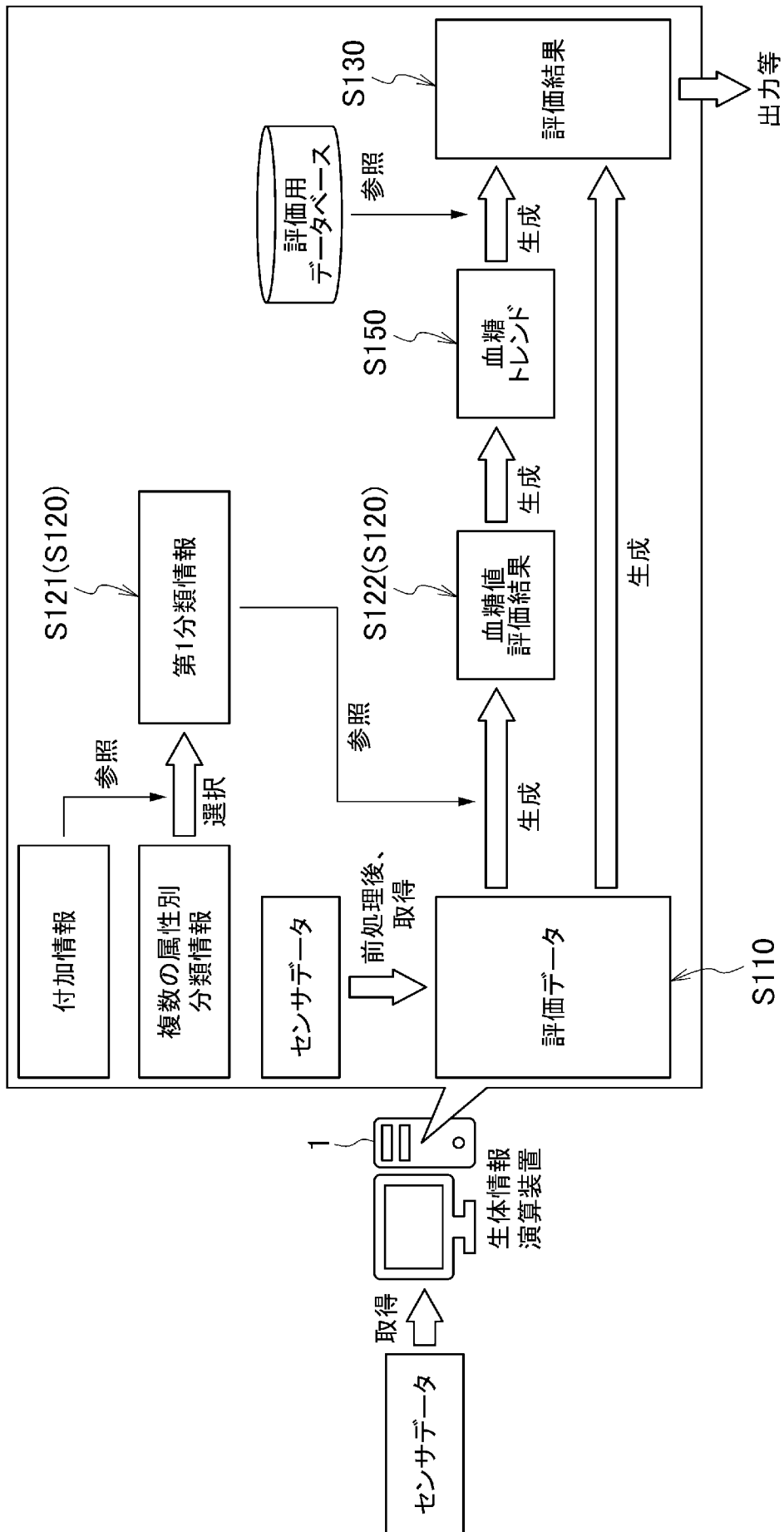




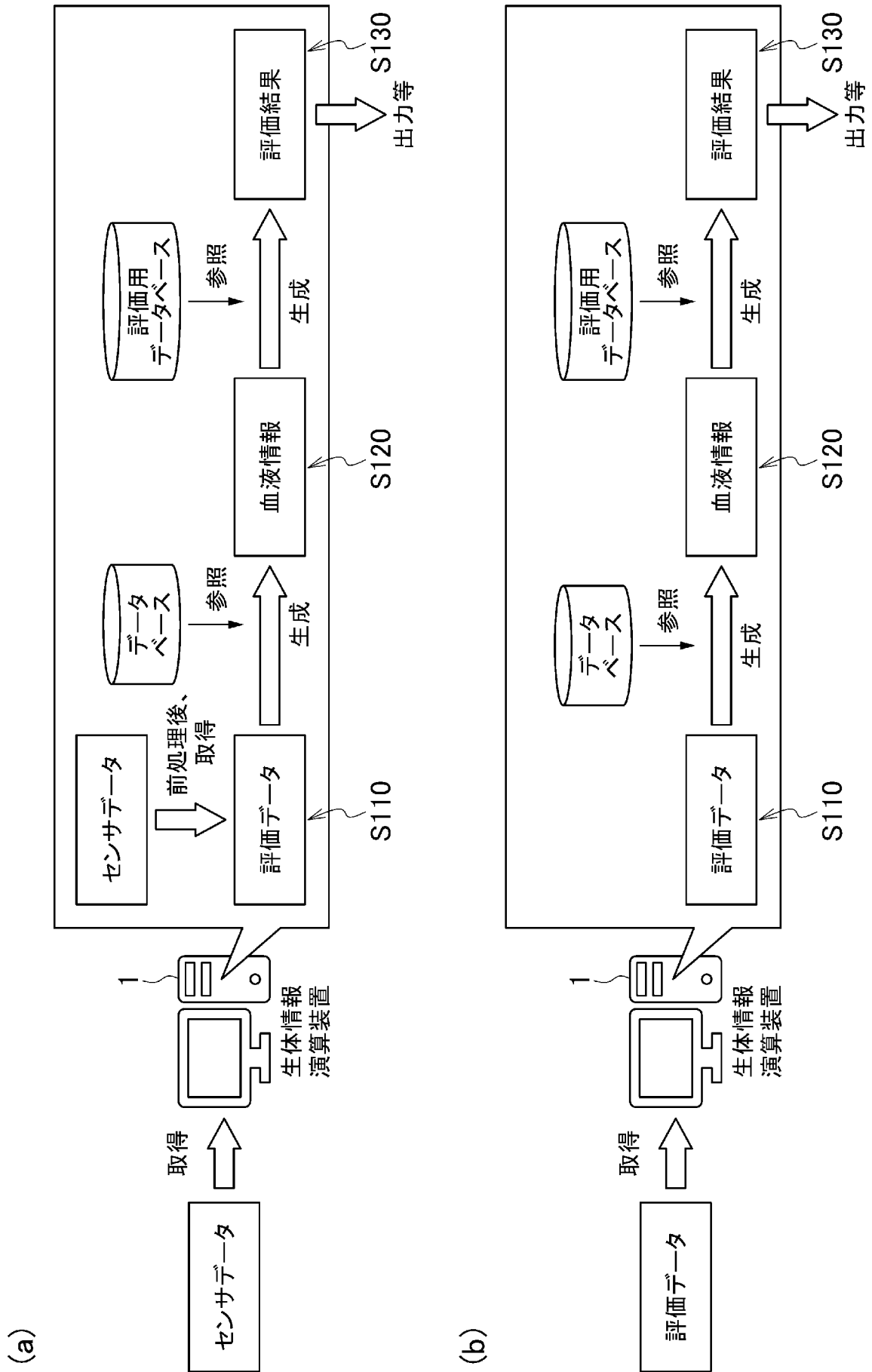
[図22]



[図23]

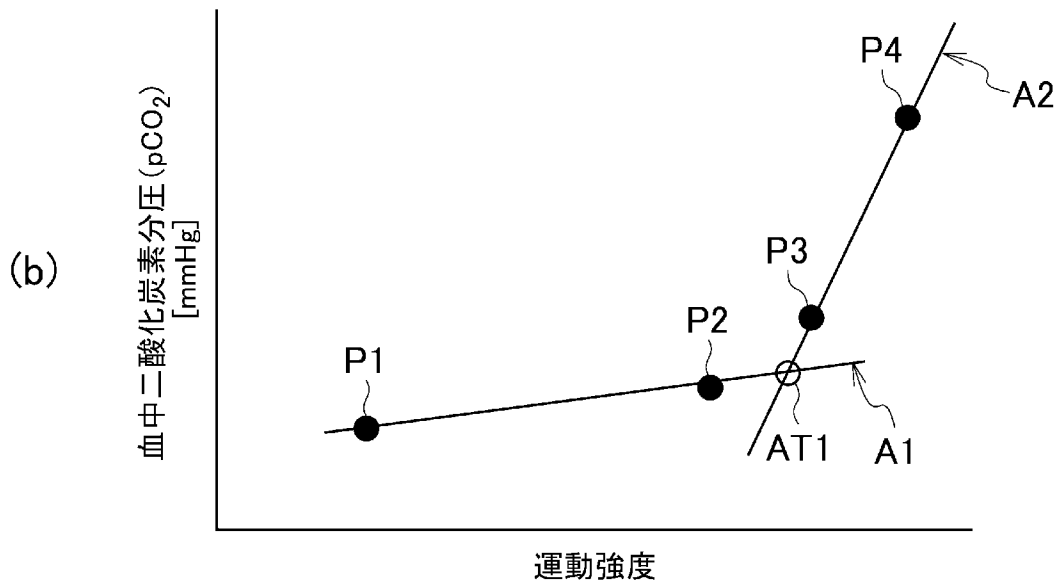


[図24]



[図25]

(a) 
$$\frac{\text{血中二酸化炭素分圧の差} \quad [\Delta \text{mmHg}]}{\text{測定時間の差} \quad [\Delta t]} = \text{〇〇} [\text{mmHg/t}]$$



## INTERNATIONAL SEARCH REPORT

International application No.

PCT/JP2021/032234

| <b>A. CLASSIFICATION OF SUBJECT MATTER</b>   |   |   |
|--|---|---|
| <i>G16H 10/60</i> (2018.01)i; <i>A61B 5/02</i> (2006.01)i; <i>A61B 5/022</i> (2006.01)i; <i>A61B 5/1455</i> (2006.01)i<br>FI: G16H10/60; A61B5/02 310A; A61B5/022 400E; A61B5/1455; A61B5/02 310H  |   |   |
| According to International Patent Classification (IPC) or to both national classification and IPC  |   |   |
| <b>B. FIELDS SEARCHED</b>  |   |   |
| Minimum documentation searched (classification system followed by classification symbols)<br>G16H10/60; A61B5/02; A61B5/022; A61B5/1455  |   |   |
| Documentation searched other than minimum documentation to the extent that such documents are included in the fields searched<br>Published examined utility model applications of Japan 1922-1996<br>Published unexamined utility model applications of Japan 1971-2021<br>Registered utility model specifications of Japan 1996-2021<br>Published registered utility model applications of Japan 1994-2021  |   |   |
| Electronic data base consulted during the international search (name of data base and, where practicable, search terms used)   |   |   |
| <b>C. DOCUMENTS CONSIDERED TO BE RELEVANT</b>  |   |   |
| Category*  | Citation of document, with indication, where appropriate, of the relevant passages  | Relevant to claim No.   |
| Y  | JP 2019-141415 A (KYOCERA CORP.) 29 August 2019 (2019-08-29)<br>paragraphs [0069]-[0078]  | 1, 3, 5, 7  |
| A  | paragraphs [0069]-[0078]  | 2, 4, 6, 8  |
| Y  | JP 2018-64702 A (SHARP CORP.) 26 April 2018 (2018-04-26)<br>paragraphs [0007], [0042]-[0050], fig. 2                            | 1, 3, 5, 7  |
| Y  | JP 2016-195661 A (SEIKO EPSON CORP.) 24 November 2016 (2016-11-24)<br>paragraphs [0033]-[0037], fig. 5                          | 1, 4, 6   |
| A  | paragraphs [0033]-[0037], fig. 5  | 2-3, 5, 7-8   |
| Y  | JP 2017-158999 A (BOMDIC INC.) 14 September 2017 (2017-09-14)<br>paragraphs [0018]-[0022], fig. 2                               | 1, 4, 6   |
| Y  | JP 2010-533514 A (THE UNIVERSITY OF MASSACHUSETTS) 28 October 2010<br>(2010-10-28)<br>paragraphs [0006], [0018], [0167], fig. 9 | 1, 4, 6   |
| <input type="checkbox"/> Further documents are listed in the continuation of Box C. <input checked="" type="checkbox"/> See patent family annex.   |   |   |
| * Special categories of cited documents:<br>"A" document defining the general state of the art which is not considered to be of particular relevance<br>"E" earlier application or patent but published on or after the international filing date<br>"L" document which may throw doubts on priority claim(s) or which is cited to establish the publication date of another citation or other special reason (as specified)<br>"O" document referring to an oral disclosure, use, exhibition or other means<br>"P" document published prior to the international filing date but later than the priority date claimed<br>"T" later document published after the international filing date or priority date and not in conflict with the application but cited to understand the principle or theory underlying the invention<br>"X" document of particular relevance; the claimed invention cannot be considered novel or cannot be considered to involve an inventive step when the document is taken alone<br>"Y" document of particular relevance; the claimed invention cannot be considered to involve an inventive step when the document is combined with one or more other such documents, such combination being obvious to a person skilled in the art<br>"&" document member of the same patent family |   |   |
| Date of the actual completion of the international search<br><b>09 November 2021</b>   |   | Date of mailing of the international search report<br><b>22 November 2021</b> |
| Name and mailing address of the ISA/JP<br><b>Japan Patent Office (ISA/JP)<br/>3-4-3 Kasumigaseki, Chiyoda-ku, Tokyo 100-8915<br/>Japan</b>   |   | Authorized officer<br><br>Telephone No.                                       |

**INTERNATIONAL SEARCH REPORT**  
**Information on patent family members**

International application No.

**PCT/JP2021/032234**

| Patent document cited in search report |             |   | Publication date (day/month/year) | Patent family member(s)   | Publication date (day/month/year) |
|--|-------------|---|-----------------------------------|---|-----------------------------------|
| JP                                     | 2019-141415 | A | 29 August 2019                    | US 2021/0030279 A1<br>paragraphs [0093]-[0102]<br>EP 3756540 A1   |                                   |
| JP                                     | 2018-64702  | A | 26 April 2018                     | (Family: none)  |                                   |
| JP                                     | 2016-195661 | A | 24 November 2016                  | US 2016/0287938 A1<br>paragraphs [0056]-[0061], fig. 5  |                                   |
| JP                                     | 2017-158999 | A | 14 September 2017                 | US 2017/0258367 A1<br>paragraphs [0034]-[0039], fig. 2<br>EP 3266372 A1<br>CN 107157456 A                 |                                   |
| JP                                     | 2010-533514 | A | 28 October 2010                   | US 2009/0024013 A1<br>paragraphs [0006], [0018], [0120], fig. 9<br>CN 101801261 A<br>KR 10-2010-0043074 A |                                   |

| <p>A. 発明の属する分野の分類（国際特許分類（IPC））</p> <p>G16H 10/60(2018.01)i; A61B 5/02(2006.01)i; A61B 5/022(2006.01)i; A61B 5/1455(2006.01)i<br/>                 FI: G16H10/60; A61B5/02 310A; A61B5/022 400E; A61B5/1455; A61B5/02 310H</p>   |   |                |                 |   |                                 |   |  |   |   |                    |                           |   |  |            |   |   |         |   |                          |             |   |   |         |   |   |         |
|---|---|----------------|-----------------|---|---------------------------------|---|--|---|---|--------------------|---------------------------|---|--|------------|---|---|---------|---|--------------------------|-------------|---|---|---------|---|---|---------|
| <p>B. 調査を行った分野</p> <p>調査を行った最小限資料（国際特許分類（IPC））</p> <p>G16H10/60; A61B5/02; A61B5/022; A61B5/1455</p> <p>最小限資料以外の資料で調査を行った分野に含まれるもの</p> <table border="0"> <tr> <td>日本国実用新案公報</td> <td>1922 - 1996年</td> </tr> <tr> <td>日本国公開実用新案公報</td> <td>1971 - 2021年</td> </tr> <tr> <td>日本国実用新案登録公報</td> <td>1996 - 2021年</td> </tr> <tr> <td>日本国登録実用新案公報</td> <td>1994 - 2021年</td> </tr> </table> <p>国際調査で使用した電子データベース（データベースの名称、調査に使用した用語）</p>  |   |                | 日本国実用新案公報       | 1922 - 1996年  | 日本国公開実用新案公報                     | 1971 - 2021年                                    | 日本国実用新案登録公報  | 1996 - 2021年  | 日本国登録実用新案公報   | 1994 - 2021年       |                           |   |  |            |   |   |         |   |                          |             |   |   |         |   |   |         |
| 日本国実用新案公報   | 1922 - 1996年  |                |                 |   |                                 |   |  |   |   |                    |                           |   |  |            |   |   |         |   |                          |             |   |   |         |   |   |         |
| 日本国公開実用新案公報   | 1971 - 2021年  |                |                 |   |                                 |   |  |   |   |                    |                           |   |  |            |   |   |         |   |                          |             |   |   |         |   |   |         |
| 日本国実用新案登録公報   | 1996 - 2021年  |                |                 |   |                                 |   |  |   |   |                    |                           |   |  |            |   |   |         |   |                          |             |   |   |         |   |   |         |
| 日本国登録実用新案公報   | 1994 - 2021年  |                |                 |   |                                 |   |  |   |   |                    |                           |   |  |            |   |   |         |   |                          |             |   |   |         |   |   |         |
| <p>C. 関連すると認められる文献</p> <table border="1"> <thead> <tr> <th>引用文献の<br/>カテゴリー*</th> <th>引用文献名 及び一部の箇所が関連するときは、その関連する箇所の表示</th> <th>関連する<br/>請求項の番号</th> </tr> </thead> <tbody> <tr> <td>Y</td> <td>JP 2019-141415 A (京セラ株式会社) 29.08.2019 (2019 - 08 - 29)<br/>段落 [0069] - [0078]</td> <td>1, 3, 5, 7</td> </tr> <tr> <td>A</td> <td>段落 [0069] - [0078]</td> <td>2, 4, 6, 8</td> </tr> <tr> <td>Y</td> <td>JP 2018-64702 A (シャープ株式会社) 26.04.2018 (2018 - 04 - 26)<br/>段落 [0007]、[0042] - [0050] 及び図2</td> <td>1, 3, 5, 7</td> </tr> <tr> <td>Y</td> <td>JP 2016-195661 A (セイコーエプソン株式会社) 24.11.2016 (2016 - 11 - 24)<br/>段落 [0033] - [0037] および図5</td> <td>1, 4, 6</td> </tr> <tr> <td>A</td> <td>段落 [0033] - [0037] および図5</td> <td>2-3, 5, 7-8</td> </tr> <tr> <td>Y</td> <td>JP 2017-158999 A (博晶医電股▲ふん▼有限公司) 14.09.2017 (2017 - 09 - 14)<br/>段落 [0018] - [0022] 及び図2</td> <td>1, 4, 6</td> </tr> <tr> <td>Y</td> <td>JP 2010-533514 A (ユニバーシティー オブ マサチューセッツ) 28.10.2010 (2010 - 10 - 28)<br/>段落 [0006]、[0018]、[0167] 及び図9</td> <td>1, 4, 6</td> </tr> </tbody> </table> |   |                | 引用文献の<br>カテゴリー* | 引用文献名 及び一部の箇所が関連するときは、その関連する箇所の表示                               | 関連する<br>請求項の番号                  | Y   | JP 2019-141415 A (京セラ株式会社) 29.08.2019 (2019 - 08 - 29)<br>段落 [0069] - [0078] | 1, 3, 5, 7  | A   | 段落 [0069] - [0078] | 2, 4, 6, 8                | Y | JP 2018-64702 A (シャープ株式会社) 26.04.2018 (2018 - 04 - 26)<br>段落 [0007]、[0042] - [0050] 及び図2 | 1, 3, 5, 7 | Y | JP 2016-195661 A (セイコーエプソン株式会社) 24.11.2016 (2016 - 11 - 24)<br>段落 [0033] - [0037] および図5 | 1, 4, 6 | A | 段落 [0033] - [0037] および図5 | 2-3, 5, 7-8 | Y | JP 2017-158999 A (博晶医電股▲ふん▼有限公司) 14.09.2017 (2017 - 09 - 14)<br>段落 [0018] - [0022] 及び図2 | 1, 4, 6 | Y | JP 2010-533514 A (ユニバーシティー オブ マサチューセッツ) 28.10.2010 (2010 - 10 - 28)<br>段落 [0006]、[0018]、[0167] 及び図9 | 1, 4, 6 |
| 引用文献の<br>カテゴリー*   | 引用文献名 及び一部の箇所が関連するときは、その関連する箇所の表示   | 関連する<br>請求項の番号 |                 |   |                                 |   |  |   |   |                    |                           |   |  |            |   |   |         |   |                          |             |   |   |         |   |   |         |
| Y   | JP 2019-141415 A (京セラ株式会社) 29.08.2019 (2019 - 08 - 29)<br>段落 [0069] - [0078]                        | 1, 3, 5, 7     |                 |   |                                 |   |  |   |   |                    |                           |   |  |            |   |   |         |   |                          |             |   |   |         |   |   |         |
| A   | 段落 [0069] - [0078]  | 2, 4, 6, 8     |                 |   |                                 |   |  |   |   |                    |                           |   |  |            |   |   |         |   |                          |             |   |   |         |   |   |         |
| Y   | JP 2018-64702 A (シャープ株式会社) 26.04.2018 (2018 - 04 - 26)<br>段落 [0007]、[0042] - [0050] 及び図2            | 1, 3, 5, 7     |                 |   |                                 |   |  |   |   |                    |                           |   |  |            |   |   |         |   |                          |             |   |   |         |   |   |         |
| Y   | JP 2016-195661 A (セイコーエプソン株式会社) 24.11.2016 (2016 - 11 - 24)<br>段落 [0033] - [0037] および図5             | 1, 4, 6        |                 |   |                                 |   |  |   |   |                    |                           |   |  |            |   |   |         |   |                          |             |   |   |         |   |   |         |
| A   | 段落 [0033] - [0037] および図5  | 2-3, 5, 7-8    |                 |   |                                 |   |  |   |   |                    |                           |   |  |            |   |   |         |   |                          |             |   |   |         |   |   |         |
| Y   | JP 2017-158999 A (博晶医電股▲ふん▼有限公司) 14.09.2017 (2017 - 09 - 14)<br>段落 [0018] - [0022] 及び図2             | 1, 4, 6        |                 |   |                                 |   |  |   |   |                    |                           |   |  |            |   |   |         |   |                          |             |   |   |         |   |   |         |
| Y   | JP 2010-533514 A (ユニバーシティー オブ マサチューセッツ) 28.10.2010 (2010 - 10 - 28)<br>段落 [0006]、[0018]、[0167] 及び図9 | 1, 4, 6        |                 |   |                                 |   |  |   |   |                    |                           |   |  |            |   |   |         |   |                          |             |   |   |         |   |   |         |
| <p><input type="checkbox"/> C欄の続きにも文献が列挙されている。</p> <p><input checked="" type="checkbox"/> パテントファミリーに関する別紙を参照。</p>   |   |                |                 |   |                                 |   |  |   |   |                    |                           |   |  |            |   |   |         |   |                          |             |   |   |         |   |   |         |
| <table border="0"> <tr> <td>* 引用文献のカテゴリー</td> <td>“T” 国際出願日又は優先日後に公表された文献であって出願と抵触するものではなく、発明の原理又は理論の理解のために引用するもの</td> </tr> <tr> <td>“A” 特に関連のある文献ではなく、一般的な技術水準を示すもの</td> <td>“X” 特に関連のある文献であって、当該文献のみで発明の新規性又は進歩性がないと考えられるもの</td> </tr> <tr> <td>“E” 国際出願日前の出願または特許であるが、国際出願日以後に公表されたもの</td> <td>“Y” 特に関連のある文献であって、当該文献と他の1以上の文献との、当業者にとって自明である組合せによって進歩性がないと考えられるもの</td> </tr> <tr> <td>“L” 優先権主張に疑義を提起する文献又は他の文献の発行日若しくは他の特別な理由を確立するために引用する文献（理由を付す）</td> <td>“&amp;” 同一パテントファミリー文献</td> </tr> <tr> <td>“O” 口頭による開示、使用、展示等に言及する文献</td> <td></td> </tr> <tr> <td>“P” 国際出願日前で、かつ優先権の主張の基礎となる出願の日の後に公表された文献</td> <td></td> </tr> </table>  |   |                | * 引用文献のカテゴリー    | “T” 国際出願日又は優先日後に公表された文献であって出願と抵触するものではなく、発明の原理又は理論の理解のために引用するもの | “A” 特に関連のある文献ではなく、一般的な技術水準を示すもの | “X” 特に関連のある文献であって、当該文献のみで発明の新規性又は進歩性がないと考えられるもの | “E” 国際出願日前の出願または特許であるが、国際出願日以後に公表されたもの                                       | “Y” 特に関連のある文献であって、当該文献と他の1以上の文献との、当業者にとって自明である組合せによって進歩性がないと考えられるもの | “L” 優先権主張に疑義を提起する文献又は他の文献の発行日若しくは他の特別な理由を確立するために引用する文献（理由を付す） | “&” 同一パテントファミリー文献  | “O” 口頭による開示、使用、展示等に言及する文献 |   | “P” 国際出願日前で、かつ優先権の主張の基礎となる出願の日の後に公表された文献   |            |   |   |         |   |                          |             |   |   |         |   |   |         |
| * 引用文献のカテゴリー  | “T” 国際出願日又は優先日後に公表された文献であって出願と抵触するものではなく、発明の原理又は理論の理解のために引用するもの                                     |                |                 |   |                                 |   |  |   |   |                    |                           |   |  |            |   |   |         |   |                          |             |   |   |         |   |   |         |
| “A” 特に関連のある文献ではなく、一般的な技術水準を示すもの   | “X” 特に関連のある文献であって、当該文献のみで発明の新規性又は進歩性がないと考えられるもの   |                |                 |   |                                 |   |  |   |   |                    |                           |   |  |            |   |   |         |   |                          |             |   |   |         |   |   |         |
| “E” 国際出願日前の出願または特許であるが、国際出願日以後に公表されたもの  | “Y” 特に関連のある文献であって、当該文献と他の1以上の文献との、当業者にとって自明である組合せによって進歩性がないと考えられるもの                                 |                |                 |   |                                 |   |  |   |   |                    |                           |   |  |            |   |   |         |   |                          |             |   |   |         |   |   |         |
| “L” 優先権主張に疑義を提起する文献又は他の文献の発行日若しくは他の特別な理由を確立するために引用する文献（理由を付す）   | “&” 同一パテントファミリー文献   |                |                 |   |                                 |   |  |   |   |                    |                           |   |  |            |   |   |         |   |                          |             |   |   |         |   |   |         |
| “O” 口頭による開示、使用、展示等に言及する文献   |   |                |                 |   |                                 |   |  |   |   |                    |                           |   |  |            |   |   |         |   |                          |             |   |   |         |   |   |         |
| “P” 国際出願日前で、かつ優先権の主張の基礎となる出願の日の後に公表された文献  |   |                |                 |   |                                 |   |  |   |   |                    |                           |   |  |            |   |   |         |   |                          |             |   |   |         |   |   |         |
| <p>国際調査を完了した日</p> <p>09.11.2021</p>   | <p>国際調査報告の発送日</p> <p>22.11.2021</p>   |                |                 |   |                                 |   |  |   |   |                    |                           |   |  |            |   |   |         |   |                          |             |   |   |         |   |   |         |
| <p>名称及びあて先</p> <p>日本国特許庁(ISA/JP)<br/>〒100-8915<br/>日本国<br/>東京都千代田区霞が関三丁目4番3号</p>  | <p>権限のある職員（特許庁審査官）</p> <p>遠藤 直恵 2Q 3701</p> <p>電話番号 03-3581-1101 内線 3292</p>                        |                |                 |   |                                 |   |  |   |   |                    |                           |   |  |            |   |   |         |   |                          |             |   |   |         |   |   |         |

国際調査報告  
 パテントファミリーに関する情報

国際出願番号

PCT/JP2021/032234

| 引用文献             | 公表日        | パテントファミリー文献  | 公表日 |
|------------------|------------|--|-----|
| JP 2019-141415 A | 29.08.2019 | US 2021/0030279 A1<br>段落 [0093] - [0102]<br>EP 3756540 A1                                    |     |
| JP 2018-64702 A  | 26.04.2018 | (ファミリーなし)  |     |
| JP 2016-195661 A | 24.11.2016 | US 2016/0287938 A1<br>段落 [0056] - [0061] および図5   |     |
| JP 2017-158999 A | 14.09.2017 | US 2017/0258367 A1<br>段落 [0034] - [0039] 及び図2<br>EP 3266372 A1<br>CN 107157456 A             |     |
| JP 2010-533514 A | 28.10.2010 | US 2009/0024013 A1<br>段落 [0006]、[0018]、[0120] 及び図9<br>CN 101801261 A<br>KR 10-2010-0043074 A |     |